



บทที่ 4

ผลการทดสอบและการวิเคราะห์ผล

4.1 ผลการทดสอบความแน่นหลังการบดอัด

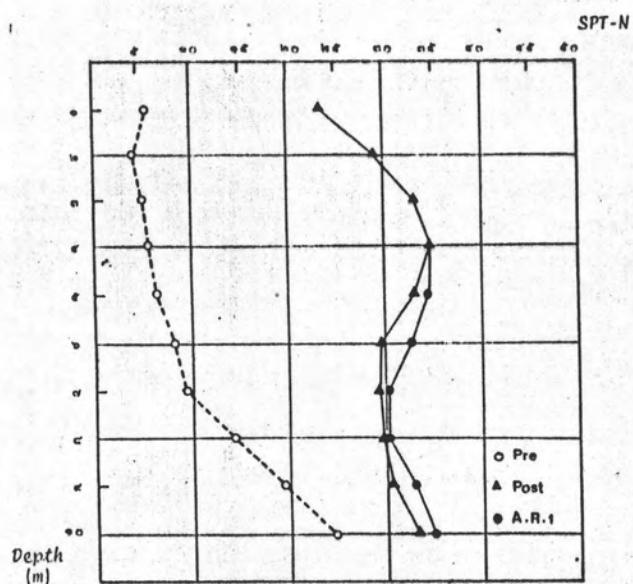
การเจาะและตอกทดสอบหลังการบดอัดจะทำการเจาะทดสอบ 1 หลุม ต่อพื้นที่ 200 ตารางเมตร โดยวิธีการเจาะและตอกทดสอบจะกระทำเหมือนก่อนบดอัด แตกต่างเพียงตำแหน่งจุดตอกทดสอบหลังการบดอัดจะเลื่อนจากตำแหน่งเดิมก่อนการบดอัด ไปยังจุดที่คาดว่าความแน่นของชั้นดินควรจะน้อยที่สุด ซึ่งจำนวนจุดการเจาะและตอกทดสอบในโซนต่าง ๆ เป็นดังต่อไปนี้คือ

โซน 1U	จำนวน	43	จุด
โซน 1C/D	จำนวน	56	จุด
โซน 2U	จำนวน	69	จุด
โซน 2C/D	จำนวน	41	จุด
โซน 3U	จำนวน	80	จุด
โซน 3C/D	จำนวน	70	จุด
โซน 4U	จำนวน	48	จุด
โซน 4C/D	จำนวน	42	จุด
โซน 5U	จำนวน	48	จุด
โซน 5C/D	จำนวน	42	จุด
โซน AD	จำนวน	14	จุด
รวมจำนวนจุดตอกทดสอบทั้งสิ้น	จำนวน	553	จุด

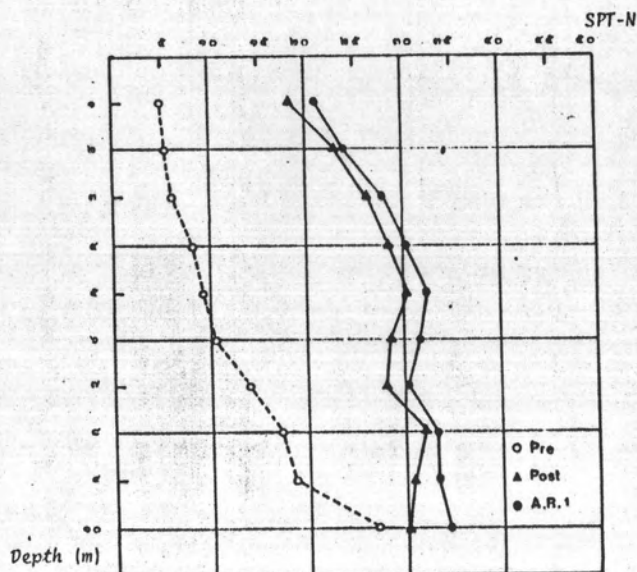
จากผลการทดสอบซึ่งได้รวบรวมไว้ในภาคผนวก ข. ตารางที่ ข. 1 นำมาคำนวณหาค่าเฉลี่ยและส่วนเบี่ยงเบนมาตรฐาน (Standard Deviation) ได้ดังตารางที่ 4.1-4.5 และรูปที่ 4.1-4.5 แล้วนำมาคำนวณหาค่าความหนาแน่นสัมพัทธ์ โดยสมการของ Fardis and Veneziano (สมการที่ 2.6) ได้ดังตารางที่ 4.6-4.10 และรูปที่ 4.6-4.10 ตามลำดับ

ความลึก โซน	1U		2U	
	Post	A.R. #1	Post	A.R. #1
๑.๐๐	๒๓.๕๑±๕.๕๗	๒๓.๓๓±๕.๕๔	๑๘.๖๒±๗.๕๘	๒๐.๕๗±๕.๐๑
๒.๐๐	๒๘.๕๑±๖.๒๑	๒๘.๓๖±๖.๘๓	๒๓.๐๐±๕.๕๗	๒๔.๑๘±๕.๑๐
๓.๐๐	๓๒.๗๕±๕.๕๔	๓๒.๘๘±๗.๐๐	๒๖.๓๘±๖.๐๑	๒๘.๑๐±๕.๘๗
๔.๐๐	๓๕.๗๖±๕.๑๒	๓๕.๒๕±๕.๕๒	๒๘.๕๐±๖.๕๓	๓๐.๒๕±๖.๘๐
๕.๐๐	๓๓.๓๒±๕.๕๒	๓๕.๖๐±๖.๕๐	๓๐.๒๕±๖.๕๘	๓๒.๒๕±๖.๕๑
๖.๐๐	๒๕.๕๘±๖.๗๕	๓๒.๗๑±๕.๘๕	๒๘.๖๕±๗.๑๘	๓๑.๖๗±๖.๕๓
๗.๐๐	๒๕.๓๕±๖.๗๐	๓๐.๒๐±๖.๐๕	๒๗.๗๘±๖.๖๕	๓๐.๓๕±๕.๕๖
๘.๐๐	๒๕.๗๓±๖.๕๕	๓๐.๒๕±๕.๖๐	๓๑.๕๕±๗.๒๒	๓๓.๓๘±๕.๒๒
๙.๐๐	๓๐.๖๖±๘.๕๓	๓๓.๓๑±๖.๓๕	๓๐.๘๓±๘.๓๒	๓๓.๕๐±๖.๑๑
๑๐.๐๐	๓๓.๓๓±๕.๗๓	๓๕.๕๓±๕.๐๓	๓๐.๓๑±๙.๖๒	๓๕.๕๕±๖.๒๑
๑๑.๐๐	> ๕๐	> ๕๐	> ๕๐	> ๕๐
E/A	๔๑๒.๕๘	๔๒๑.๕๕	๓๕๓.๑๐	๓๕๒.๘๕
D	๑๐.๐๖±๑.๕๐	๙.๙๐±๑.๖๘	๑๐.๑๕±๑.๒๓	๑๐.๑๐±๑.๓๕

ตารางที่ 4.1 แสดงค่า SPT-N เฉลี่ยและส่วนเบี่ยงเบนมาตรฐานหลังการบดอัด
โซน 1U และ 2U



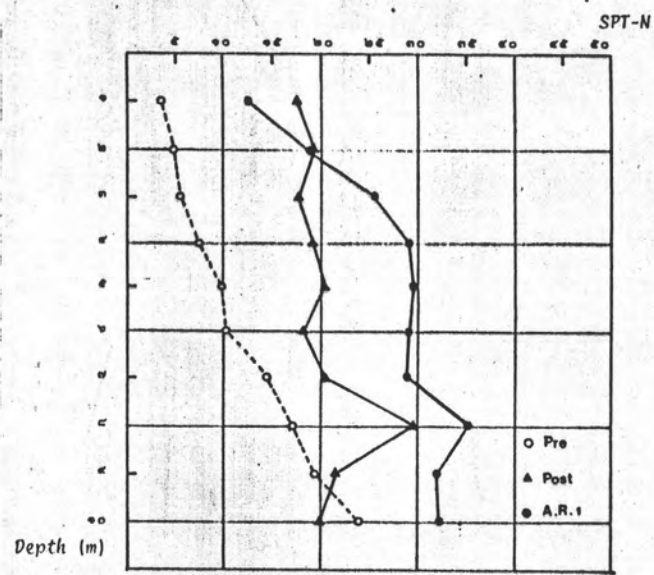
รูปที่ 4.1 (ก) แสดงผลของค่า SPT-N เฉลี่ย ก่อนและหลังการบดอัด โชน 1U



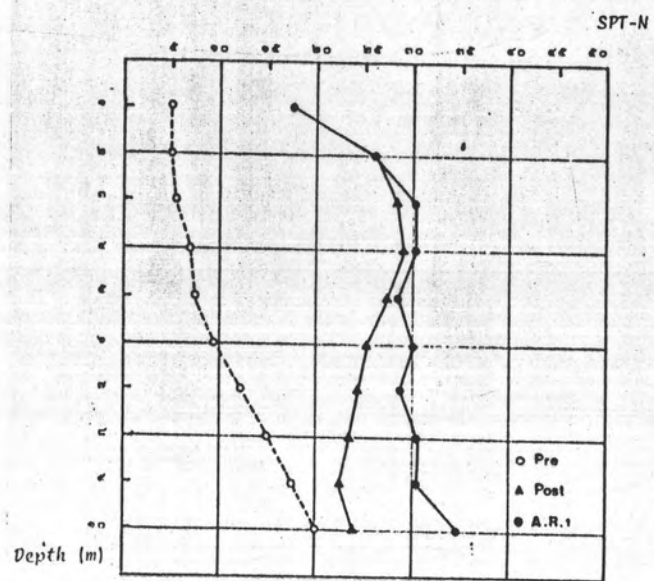
รูปที่ 4.1 (ข) แสดงผลของค่า SPT-N เฉลี่ย ก่อนและหลังการบดอัด โชน 2U

ความลึก \ โชน	1C/D		2C/D	
	Post	A.R.# 1	Post	A.R.# 1
๑.๐๐	๑๗.๕๓±๔.๕๗	๑๗.๕๖±๓.๑๒	๑๗.๕๖±๔.๕๖	๑๒.๖๕±๖.๐๖
๒.๐๐	๒๖.๓๕±๗.๕๓	๒๖.๐๒±๗.๒๔	๑๙.๒๓±๔.๒๔	๑๘.๖๘±๖.๕๔
๓.๐๐	๒๘.๕๗±๗.๙๑	๓๐.๓๕±๗.๕๓	๑๗.๘๕±๗.๑๘	๒๕.๕๖±๖.๒๘
๔.๐๐	๒๙.๐๕±๗.๘๙	๓๐.๒๐±๗.๐๕	๑๙.๒๓±๖.๕๕	๒๘.๔๕±๖.๑๘
๕.๐๐	๒๗.๕๓±๖.๙๙	๒๘.๕๐±๕.๒๙	๒๐.๕๕±๖.๓๗	๒๙.๕๐±๕.๕๕
๖.๐๐	๒๕.๒๙±๗.๓๕	๓๐.๑๕±๖.๗๗	๑๘.๓๘±๗.๖๑	๒๙.๒๓±๖.๖๙
๗.๐๐	๒๙.๓๗±๗.๘๘	๒๘.๖๑±๕.๓๐	๒๐.๕๒±๖.๗๙	๒๘.๗๙±๕.๕๓
๘.๐๐	๒๓.๕๓±๗.๙๗	๓๐.๕๕±๔.๕๘	๒๙.๗๓±๑๓.๒๐	๓๕.๓๗±๗.๖๔
๙.๐๐	๒๒.๖๗±๗.๗๒	๓๐.๕๑±๕.๐๗	๒๑.๖๒±๑๐.๘๗	๓๒.๐๐±๕.๖๖
๑๐.๐๐	๒๓.๘๓±๕.๖๐	๓๕.๘๕±๕.๙๒	๑๙.๗๘±๗.๑๐	๓๒.๓๕±๖.๑๐
๑๑.๐๐	> ๕๐	> ๕๐	> ๕๐	> ๕๐
E/A	๔๐๕.๐๘	๔๘๒.๖๕	๓๒๗.๓๙	๔๘๖.๒๐
D	๑๐.๐๓±๑.๖๒	๙.๙๐±๑.๖๕	๑๐.๘๑±๐.๖๖	๑๐.๕๑±๐.๕๕

ตารางที่ 4.2 แสดงค่า SPT-N เฉลี่ยและส่วนเบี่ยงเบนมาตรฐาน หลังการ
 บดอัด โชน 1C/D และ 2C/D



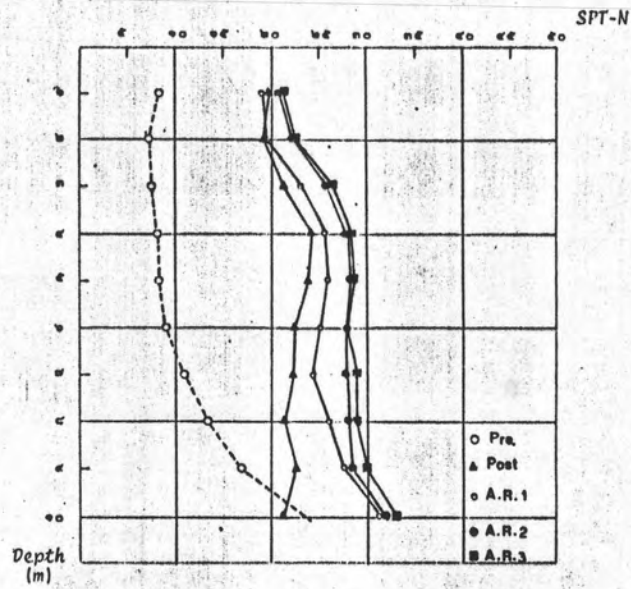
รูปที่ 4.2 (ก) แสดงผลของค่า SPT-N เฉลี่ย ก่อนและหลังการบดอัด โชน 1C/D



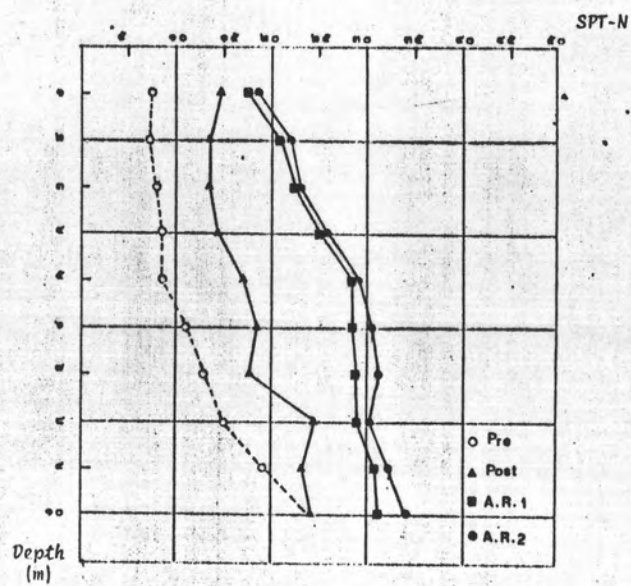
รูปที่ 4.2 (ข) แสดงผลของค่า SPT-N เฉลี่ย ก่อนและหลังการบดอัด โชน 2C/D

โซน ความลึก	3U				3C/D (R)		
	Post	A.R. # 1	A.R. # 2	A.R. # 3	Post	A.R. # 1	A.R. # 2
๑.๐๐	๑๔.๘๗๖.๑๘	๑๔.๑๕๖.๒๒๒	๒๐.๘๑๖.๕๔	๒๑.๒๒๖.๑๐	๑๕.๗๕๖.๕๓	๑๗.๕๗๖.๕๑	๑๘.๕๕๖.๕๓
๒.๐๐	๑๔.๒๖๖.๘๖	๑๔.๓๕๖.๑๕	๒๒.๓๐๖.๓๐	๒๒.๖๒๖.๑๘	๑๓.๕๕๖.๒๒	๒๑.๑๐๖.๑๒	๒๑.๕๖๖.๓๕
๓.๐๐	๒๑.๖๗๖.๕๖	๒๓.๑๕๖.๓๘	๒๕.๗๕๖.๑๗	๒๖.๗๐๖.๑๐	๑๓.๖๖๖.๕๕	๒๒.๒๖๖.๘๕	๒๓.๑๖๖.๓๕
๔.๐๐	๒๔.๓๒๖.๗๐	๒๕.๗๐๖.๗๕	๒๗.๕๘๖.๒๓	๒๘.๑๕๖.๒๐	๑๔.๒๕๖.๘๒	๒๕.๐๐๖.๕๓	๒๕.๘๑๖.๓๕
๕.๐๐	๒๕.๑๕๖.๘๐	๒๖.๑๒๖.๖๕	๒๘.๓๕๖.๕๖	๒๘.๖๕๖.๖๐	๒๒.๒๒๖.๒๖	๒๘.๕๑๖.๓๘	๒๘.๗๕๖.๐๑
๖.๐๐	๒๒.๔๘๖.๐๕	๒๕.๒๕๖.๓๒	๒๗.๕๒๖.๕๕	๒๘.๑๑๖.๑๕	๒๓.๕๕๖.๕๑	๒๘.๕๕๖.๕๕	๓๐.๕๕๖.๖๖
๗.๐๐	๒๒.๓๖๖.๘๓	๒๕.๖๗๖.๘๓	๒๗.๕๐๖.๗๕	๒๕.๑๕๖.๘๕	๒๒.๘๐๖.๐๒	๒๘.๗๕๖.๓๐	๓๑.๒๕๖.๒๑
๘.๐๐	๒๑.๕๗๖.๘๕	๒๕.๕๒๖.๑๒	๒๗.๕๖๖.๕๑	๒๕.๑๒๖.๑๕	๒๕.๕๕๖.๘๕	๒๕.๐๐๖.๕๖	๓๐.๒๑๖.๗๐
๑๐.๐๐	๒๑.๕๖๖.๓๓	๓๑.๕๘๖.๘๘	๓๑.๕๐๖.๘๘	๓๓.๓๗๖.๒๐	๒๓.๓๗๖.๗๗	๓๑.๕๒๖.๕๓	๓๒.๕๐๖.๗๓
๑๑.๐๐	> ๕๐	> ๕๐	> ๕๐	> ๕๐	> ๕๐	> ๕๐	> ๕๐
E/A	๓๗๖.๑๓	๔๓๗.๘๘	๕๕๕.๕๖	๕๐๒.๖๐	๕๕๘.๓๒	๕๕๕.๓๘	๕๐๗.๘๓
D	๑๐.๐๓๑.๕๕	๕.๖๗๑.๕๐	๕.๗๖๑.๕๕	๕.๘๘๑.๕๕	๑๐.๒๓๑.๑๘	๑๐.๕๐๑.๑๘	๑๐.๕๕๑.๑๘

ตารางที่ 4.3 แสดงว่า SPT-N เฉลี่ยและส่วนเบี่ยงเบนมาตรฐาน หลังการบดอัดโซน 3U และ 3C/D (R)



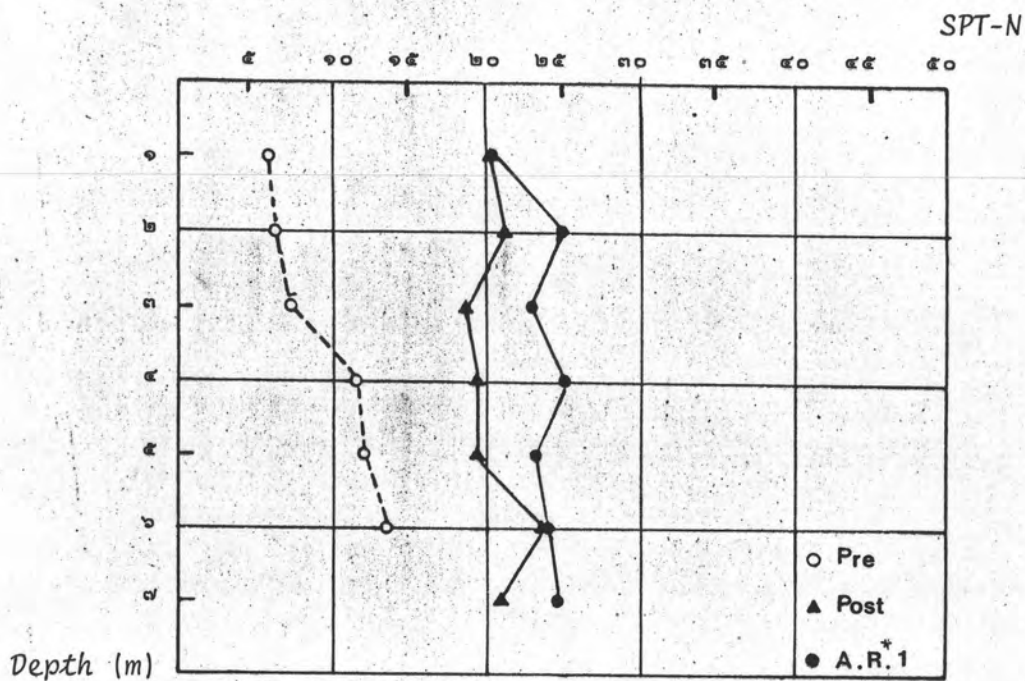
รูปที่ 4.3 (ก) แสดงผลของค่า SPT-N เฉลี่ย ก่อนและหลังการบดอัด โชน 3U



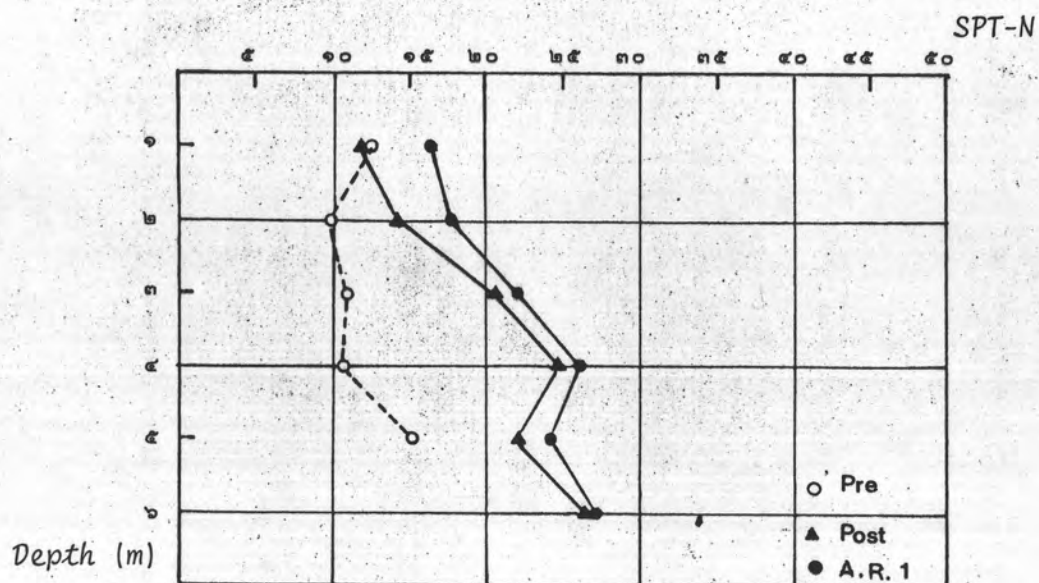
รูปที่ 4.3 (ข) แสดงผลของค่า SPT-N เฉลี่ย ก่อนและหลังการบดอัด โชน 3C/D (R)

ความลึก \ โชน	AD		3C/D (L)		4U (4P)	
	Post	A.R. # 1	Post	A.R. # 1	Post	A.R. # 2
๑.๐๐	๒๐.๓๖±๕.๕๖	๒๐.๕๘±๕.๑๕	๑๑.๙๕±๕.๒๘	๑๖.๖๐±๒.๗๖	๑๘.๗๕±๖.๑๑	๒๐.๐๐±๖.๐๒
๒.๐๐	๒๑.๒๑±๕.๖๙	๒๕.๐๐±๗.๑๗	๑๔.๑๕±๖.๐๓	๑๗.๖๕±๕.๐๗	๑๘.๓๓±๖.๒๘	๑๘.๙๕±๕.๑๘
๓.๐๐	๑๘.๓๖±๕.๕๙	๒๓.๐๗±๖.๐๕	๒๐.๕๕±๕.๑๐	๒๑.๘๐±๕.๐๐	๑๙.๘๐±๖.๐๒	๒๑.๕๕±๖.๕๘
๔.๐๐	๑๙.๖๕±๖.๐๘	๒๕.๑๕±๕.๕๕	๒๔.๗๕±๕.๔๒	๒๖.๑๕±๕.๒๒	๑๙.๙๕±๕.๕๙	๒๒.๘๐±๕.๒๑
๕.๐๐	๑๙.๐๗±๕.๗๗	๒๓.๓๑±๓.๗๗	๒๒.๐๕±๓.๗๓	๒๓.๙๕±๕.๐๓	๒๕.๗๕±๕.๘๓	๒๗.๕๕±๖.๘๙
๖.๐๐	๒๓.๖๐±๕.๓๕	๒๔.๐๐±๕.๓๙	๒๖.๕๘±๕.๘๙	๒๖.๗๐±๓.๕๒	๓๓.๐๐±๘.๐๗	๓๓.๗๘±๘.๘๐
๗.๐๐	๒๑.๐๐±๓.๕๑	๒๔.๘๐±๒.๕๖	> ๕๐	> ๕๐	> ๕๐	> ๕๐
๘.๐๐	> ๕๐	> ๕๐				
E/A	๑๙๕.๑๔	๒๘๑.๕๒	๒๔๗.๕๐	๒๖๗.๘๗	๒๓๘.๓๓	๒๕๙.๑๖
๑)	๗.๑๗±๑.๐๗	๗.๐๐±๑.๒๐	๖.๘๑±๐.๘๔	๖.๖๓±๐.๗๓	๖.๓๒±๐.๘๔	๖.๕๐±๐.๘๔

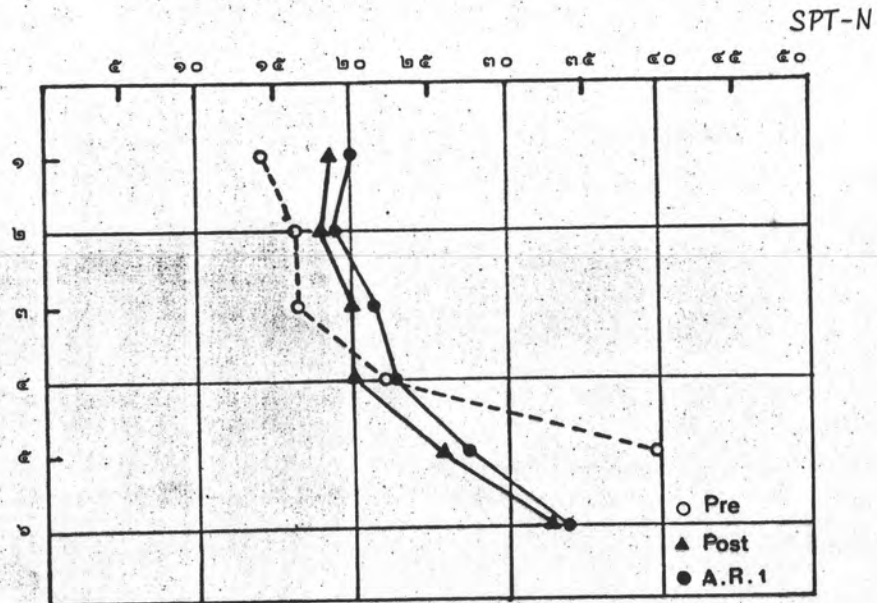
ตาราง 4.4 แสดงค่า SPT-N เฉลี่ยและส่วนเบี่ยงเบนมาตรฐาน หลังการบดอัด
โชน AD, 3C/D (L) และ 4U (4P)



รูป 4.4 (ก) แสดงผลของค่า SPT-N เฉลี่ย ก่อนและหลังการบดอัด โชน AD



รูปที่ 4.4 (ข) แสดงผลของค่า SPT-N เฉลี่ย ก่อนและหลังการบดอัด โชน 3C/D (L)

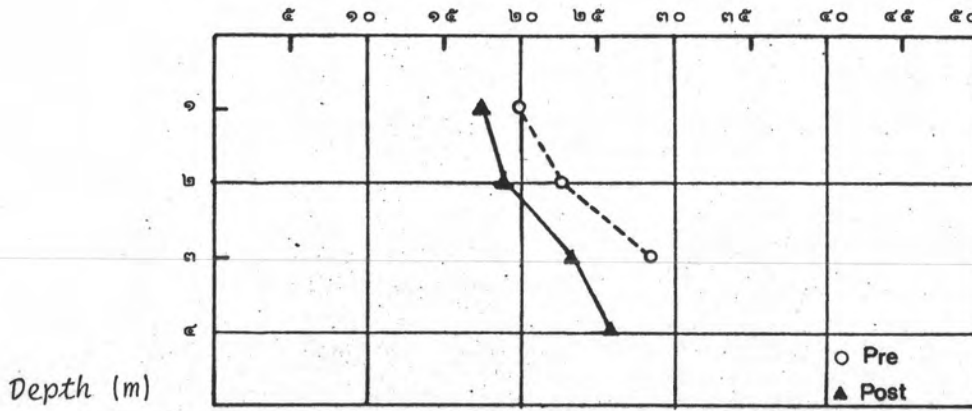


รูปที่ 4.4 (ค) แสดงผลของค่า SPT-N เฉลี่ย ก่อนและหลังการบดอัด โชน 4U (4P)

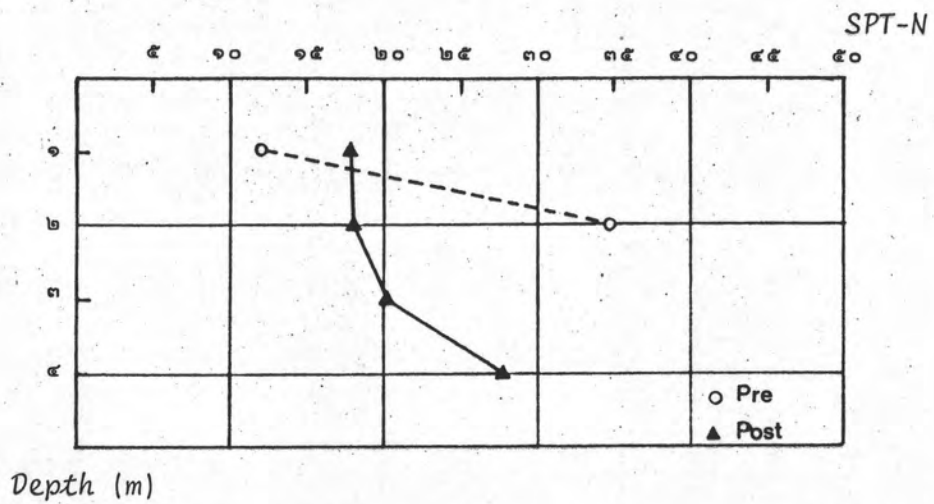
ความลึก	โชน	4U (3P)	4C/D (L)	4C/D (R)
		Post	Post	Post
๑.๐๐		๑๗.๖๒±๖.๒๖	๑๗.๗๘±๔.๐๐	๑๘.๖๒±๕.๑๑
๒.๐๐		๑๘.๘๒±๓.๖๑	๑๘.๑๔±๒.๑๗	๒๐.๐๐±๕.๔๑
๓.๐๐		๒๓.๘๗±๓.๘๒	๒๐.๒๐±๕.๐๑	๒๒.๗๕±๔.๘๐
๔.๐๐		๒๖.๑๑±๗.๐๕	๒๒.๗๕±๗.๑๕	๒๖.๐๗±๔.๘๒
๕.๐๐		> ๕๐	> ๕๐	> ๕๐
E/A		๑๕๐.๔๓	๑๘๓.๓๓	๒๑๐.๘๓
D		๔.๕๒±๑.๑๕	๔.๐๔±๐.๗๒	๔.๗๑±๐.๖๕

หมายเหตุ : ในโชนที่ ๕ ผลการทดสอบ ข้อมูลกระจายแตกต่างกันมาก ไม่สามารถนำมาหาค่าเฉลี่ยได้

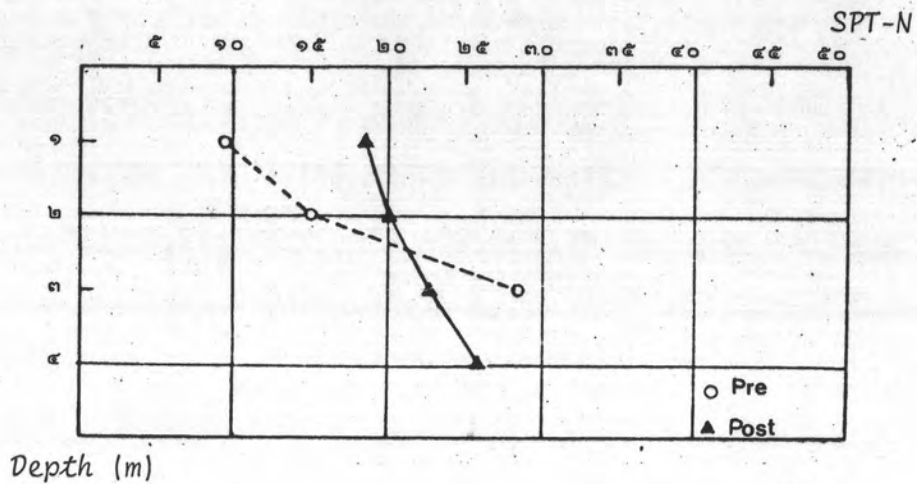
ตารางที่ 4.5 แสดงผลค่า SPT-N เฉลี่ยก่อนและหลังการบดอัด โชน 4U (3P), 4C/D (L) และ 4C/D (R)



รูปที่ 4.5 (ก) แสดงผลของ SPT-N เฉลี่ยก่อนและหลังการบดอัดโซน 4U (3P)



รูปที่ 4.5 (ข) แสดงผลของ SPT-N เฉลี่ยก่อนและหลังการบดอัดโซน 4C/D (L)



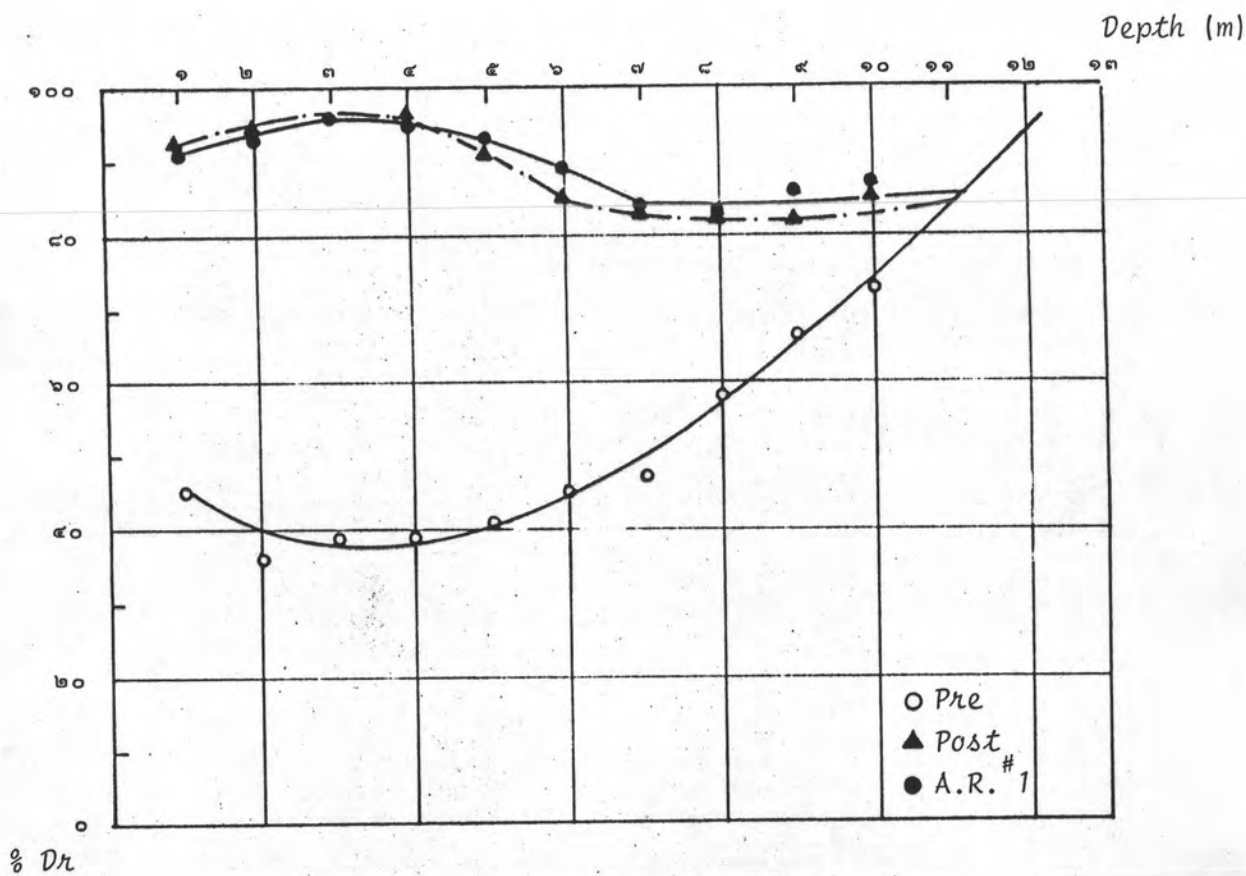
รูปที่ 4.5 (ค) แสดงผลของค่า SPT-N เฉลี่ยก่อนและหลังการบดอัดโซน 4C/D (R)

ความลึก (ม)	1U						2U					
	Post			A.R#1			Post			A.R#1		
	Min	\bar{X}	Max	Min	\bar{X}	Max	Min	\bar{X}	Max	Min	\bar{X}	Max
๑.๐๐	๘๒	๙๒	๑๐๑	๘๐	๙๑	๑๐๑	๖๙	๘๒	๙๖	๖๖	๘๗	๙๖
๒.๐๐	๘๙	๙๙	๑๐๓	๘๒	๙๓	๑๐๙	๖๙	๘๙	๙๙	๖๗	๘๖	๙๕
๓.๐๐	๘๖	๙๖	๑๐๙	๘๙	๙๖	๑๐๙	๖๖	๘๖	๙๕	๖๙	๘๙	๙๖
๔.๐๐	๘๘	๙๖	๑๐๒	๘๖	๙๕	๑๐๒	๖๖	๘๖	๙๖	๖๙	๘๙	๙๙
๕.๐๐	๘๙	๙๑	๙๘	๘๙	๙๓	๑๐๑	๖๖	๘๖	๙๖	๖๐	๙๐	๙๙
๖.๐๐	๘๙	๘๙	๙๓	๘๑	๘๙	๙๖	๖๒	๘๓	๙๓	๖๖	๘๖	๙๖
๗.๐๐	๘๓	๘๓	๙๒	๘๙	๘๙	๙๒	๖๑	๘๑	๙๐	๖๖	๘๙	๙๑
๘.๐๐	๘๓	๘๒	๙๐	๘๙	๘๓	๙๐	๖๙	๘๙	๙๙	๖๐	๘๖	๙๓
๙.๐๐	๘๐	๘๒	๙๓	๘๖	๘๖	๙๓	๖๑	๘๓	๙๓	๖๘	๘๖	๙๓
๑๐.๐๐	๘๖	๘๙	๙๒	๘๐	๘๖	๙๓	๖๖	๘๑	๙๓	๖๘	๘๖	๙๓
E/A	๘๑๒.๘๘			๘๒๑.๙๕			๘๕๓.๑๐			๘๙๒.๘๙		
\bar{D}_r	๘๙	๘๙	๙๖	๘๑	๙๐	๙๘	๖๒	๘๙	๙๙	๖๘	๘๖	๙๕
\bar{N}	๒๙	๖๖	๙๙	๓๐	๓๖	๓๙	๒๙	๓๓	๙๑	๒๘	๓๕	๙๒

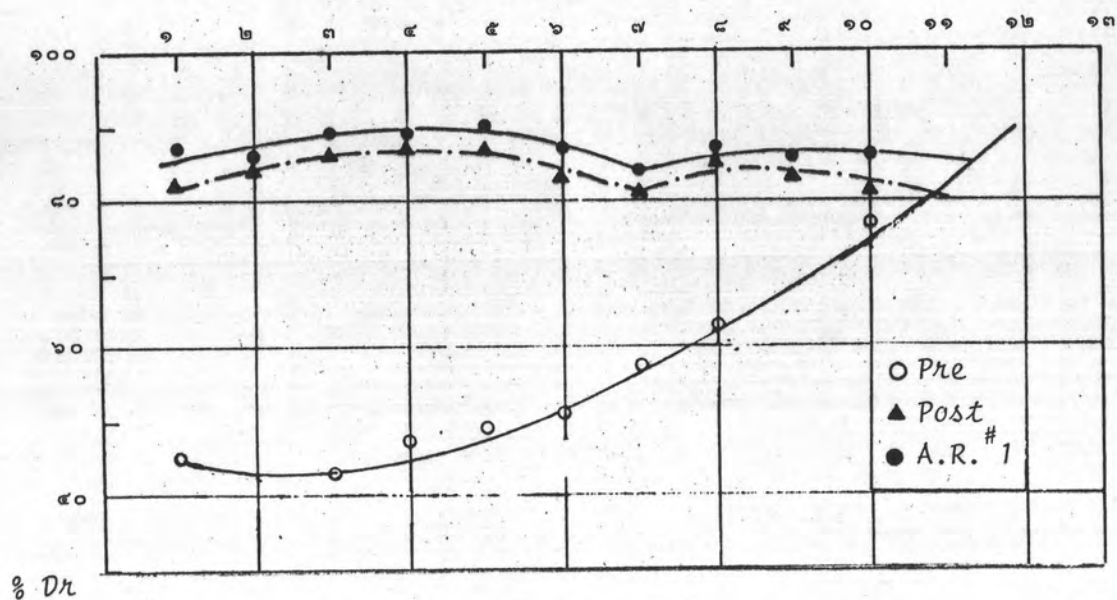
ตารางที่ 4.6 แสดงค่าความหนาแน่นสัมพัทธ์หลังการบดอัดไซน 1U และ 2U

ความลึก (ม)	1C/D						2C/D					
	Post			A.R.#1			Post			A.R.#1		
	Min	\bar{X}	Max	Min	\bar{X}	Max	Min	\bar{X}	Max	Min	\bar{X}	Max
๑.๐๐	๗๐	๘๐	๙๐	๗๓	๘๐	๘๗	๖๘	๗๙	๙๐	๕๐	๖๘	๘๒
๒.๐๐	๗๕	๙๐	๑๐๓	๗๖	๘๙	๑๐๑	๖๘	๗๗	๘๕	๖๒	๗๖	๘๘
๓.๐๐	๗๗	๙๐	๑๐๑	๘๐	๙๒	๑๐๓	๕๖	๖๑	๘๙	๖๙	๘๕	๙๙
๔.๐๐	๗๕	๘๘	๙๘	๖๘	๘๙	๙๙	๕๙	๖๒	๘๓	๖๘	๘๗	๙๖
๕.๐๐	๗๒	๘๓	๙๓	๗๗	๘๕	๙๒	๖๐	๖๒	๘๒	๖๘	๘๖	๙๓
๖.๐๐	๖๕	๗๘	๙๐	๖๕	๘๕	๙๙	๕๒	๖๖	๘๙	๖๙	๘๙	๙๓
๗.๐๐	๖๓	๗๖	๘๗	๖๙	๘๒	๘๙	๕๖	๖๙	๘๐	๖๙	๘๒	๘๙
๘.๐๐	๖๐	๗๓	๘๙	๖๗	๘๓	๘๙	๖๒	๗๒	๙๖	๖๙	๘๙	๙๖
๙.๐๐	๕๘	๗๑	๘๒	๖๗	๗๒	๘๖	๕๐	๖๐	๘๕	๖๗	๘๙	๙๑
๑๐.๐๐	๕๖	๗๒	๘๕	๖๙	๗๖	๙๙	๕๓	๖๖	๗๙	๖๖	๘๙	๙๑
E/A	๕๐๕.๐๘			๕๘๒.๖๕			๓๒๗.๓๙			๕๘๖.๒๐		
\bar{D}_n	๖๗	๘๐	๙๑	๖๗	๘๕	๙๙	๕๙	๖๓	๘๙	๗๒	๘๓	๙๒
\bar{N}	๒๑	๓๐	๓๙	๒๗	๓๙	๕๑	๑๖	๒๙	๓๓	๒๙	๓๒	๓๙

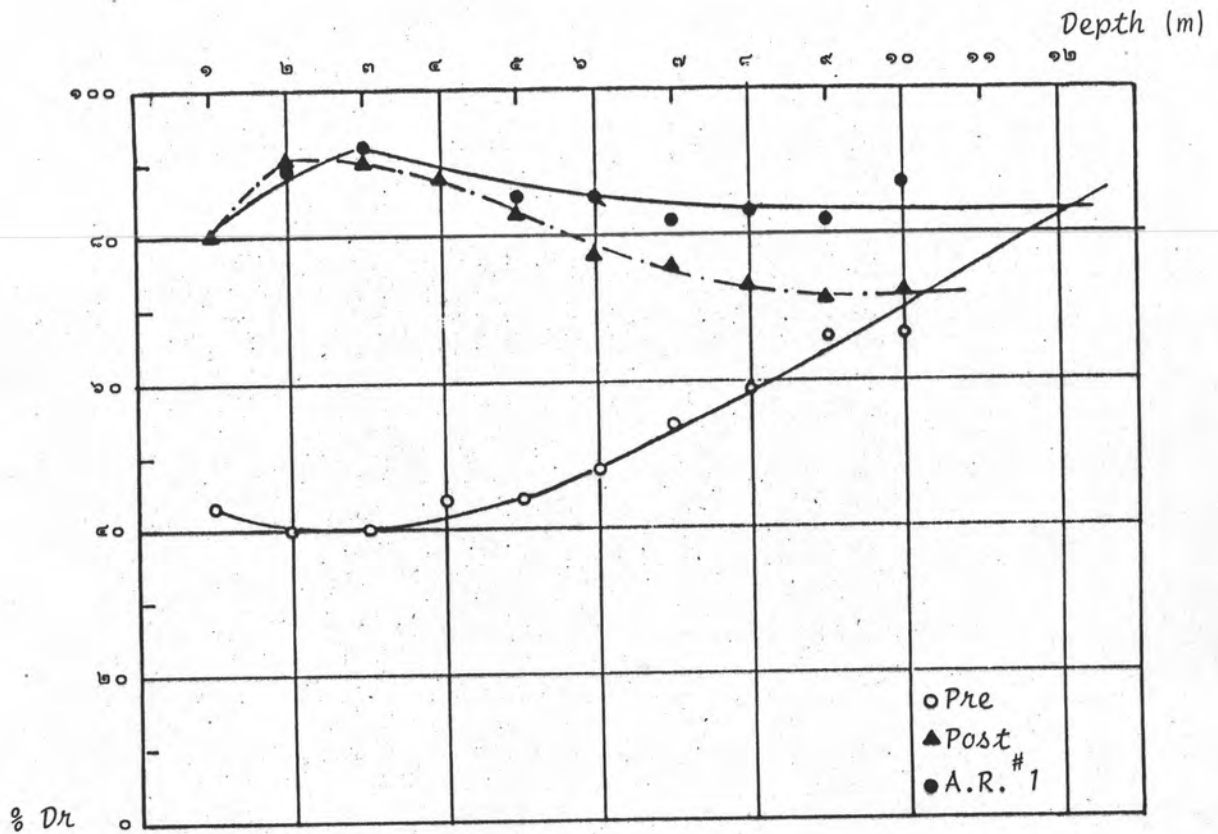
ตารางที่ 4.7 แสดงค่าความหนาแน่นสัมพัทธ์หลังการบดอัด โชน 1C/D และ 2C/D



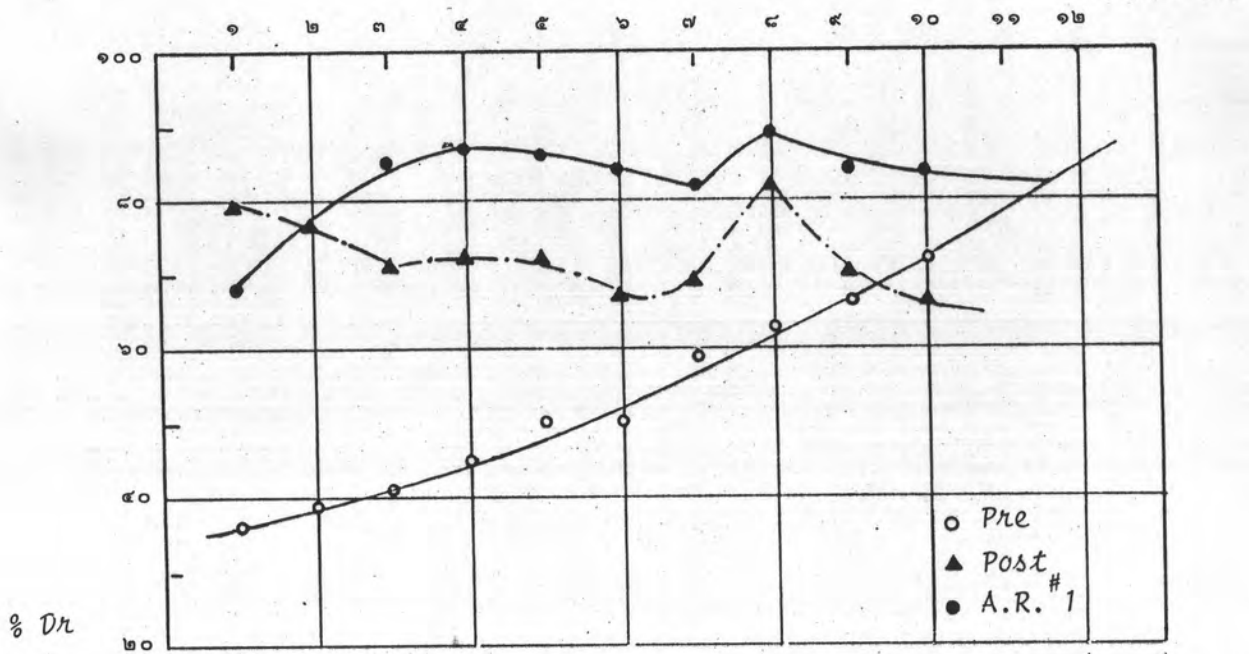
รูปที่ 4.6 (ก) แสดงค่าความหนาแน่นสัมพัทธ์เฉลี่ยก่อนและหลังการบดอัดโซน 1U



รูปที่ 4.6 (ข) แสดงค่าความหนาแน่นสัมพัทธ์เฉลี่ยก่อนและหลังการบดอัดโซน 2U



รูปที่ 4.7 (ก) แสดงค่าความหนาแน่นสัมพัทธ์เฉลี่ยก่อนและหลังการบดอัดโซน 1C/D



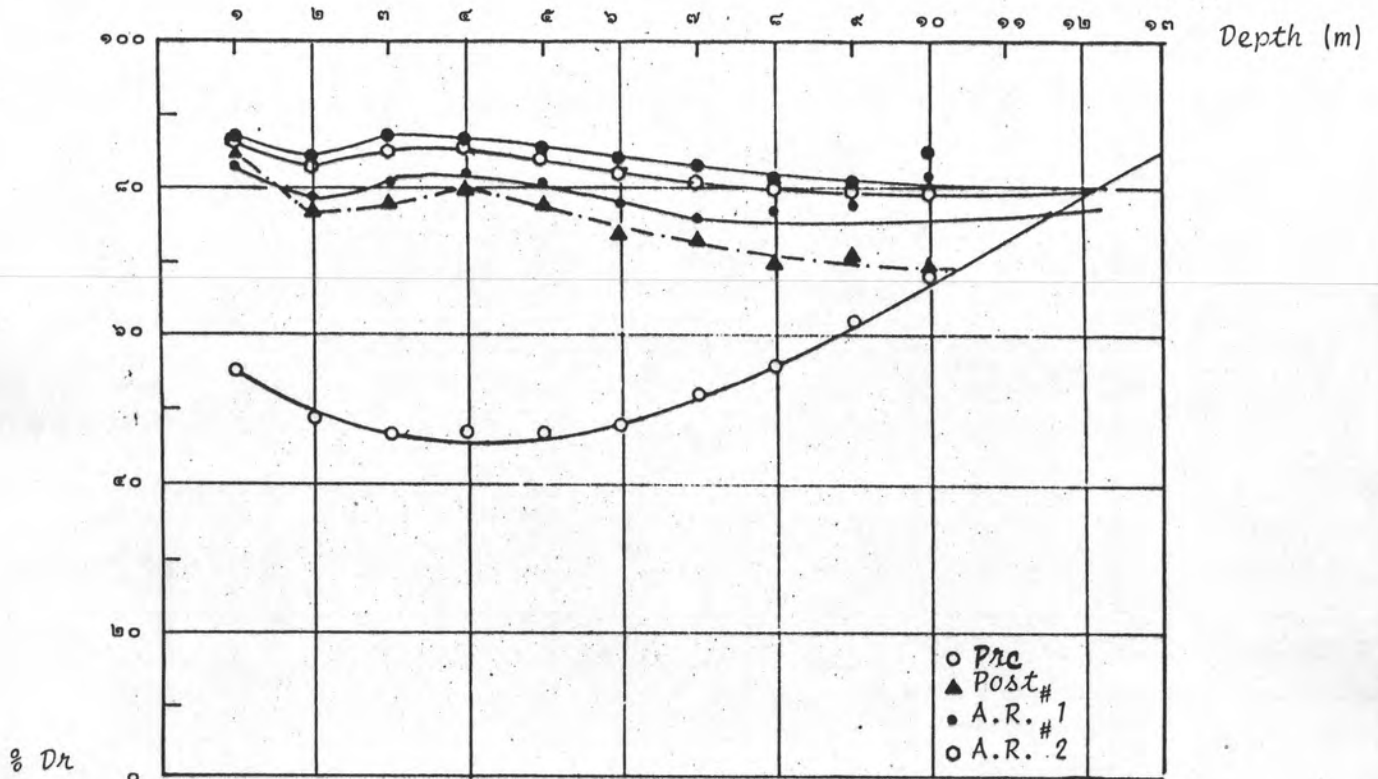
รูปที่ 4.7 (ข) แสดงค่าความหนาแน่นสัมพัทธ์เฉลี่ยก่อนและหลังการบดอัดโซน 2C/D

ความลึก (ม)	3U												3C/D (R)								
	Post			A.R. 1			A.R. 2			A.R. 3			Post			A.R. 1			A.R. 2		
	Min	\bar{X}	Max	Min	\bar{X}	Max	Min	\bar{X}	Max	Min	\bar{X}	Max	Min	\bar{X}	Max	Min	\bar{X}	Max	Min	\bar{X}	Max
๑.๐๐	๗๑	๘๕	๙๖	๖๓	๘๓	๙๔	๗๖	๘๗	๙๗	๗๖	๘๗	๙๗	๖๐	๗๓	๘๔	๖๕	๘๐	๙๒	๖๐	๗๖	๘๙
๒.๐๐	๖๐	๗๗	๙๑	๕๔	๗๗	๙๕	๖๒	๘๔	๙๕	๖๒	๘๔	๙๕	๕๘	๗๕	๘๘	๖๕	๘๑	๙๔	๖๕	๘๒	๙๕
๓.๐๐	๖๓	๗๘	๙๑	๖๕	๘๑	๙๕	๖๗	๘๗	๙๗	๖๕	๘๗	๙๗	๖๗	๘๗	๙๖	๖๗	๘๗	๙๖	๖๗	๘๗	๙๗
๔.๐๐	๖๕	๘๐	๙๓	๗๒	๘๖	๙๖	๗๖	๘๕	๙๕	๗๖	๘๕	๙๕	๖๖	๗๖	๘๖	๖๘	๘๑	๙๖	๖๘	๘๑	๙๖
๕.๐๐	๖๕	๗๘	๙๐	๖๔	๘๑	๙๓	๖๕	๘๕	๙๓	๖๕	๘๕	๙๓	๖๖	๗๕	๘๖	๖๕	๘๕	๙๓	๖๕	๘๕	๙๓
๖.๐๐	๖๐	๗๕	๘๖	๖๖	๗๘	๙๐	๖๕	๗๘	๙๐	๖๕	๗๘	๙๐	๖๗	๗๗	๘๘	๖๗	๗๗	๘๘	๖๗	๗๗	๘๘
๗.๐๐	๕๔	๗๓	๘๕	๖๓	๗๖	๘๗	๖๓	๗๖	๘๗	๖๓	๗๖	๘๗	๖๖	๗๖	๘๖	๖๖	๗๖	๘๖	๖๕	๘๕	๙๕
๘.๐๐	๕๕	๗๐	๘๓	๖๖	๗๗	๘๖	๖๕	๗๖	๘๖	๖๕	๗๖	๘๖	๖๘	๗๘	๘๘	๖๘	๗๘	๘๘	๖๕	๘๕	๙๐
๙.๐๐	๕๗	๗๑	๘๓	๖๗	๗๘	๘๘	๖๗	๗๘	๘๘	๖๗	๗๘	๘๘	๖๕	๗๕	๘๕	๖๕	๗๕	๘๕	๖๗	๗๗	๘๗
๑๐.๐๐	๕๕	๖๘	๘๐	๖๒	๗๖	๘๖	๖๗	๗๖	๘๖	๖๗	๗๖	๘๖	๖๖	๗๖	๘๖	๖๖	๗๖	๘๖	๖๕	๘๕	๙๖
E/A	๓๕๖.๑๓			๕๓๗.๘๘			๕๕๕.๕๖			๕๐๒.๖๐			๕๕๘.๓๒			๕๕๕.๓๘			๕๐๗.๘๓		
\bar{D}_r	๖๑	๗๕	๘๘	๖๖	๘๐	๙๑	๖๕	๗๗	๘๖	๖๕	๗๖	๘๖	๖๕	๗๖	๘๖	๖๕	๗๖	๘๖	๖๕	๗๖	๘๖
\bar{N}	๑๗	๒๖	๓๖	๒๐	๒๕	๓๕	๒๖	๓๕	๔๐	๒๖	๓๕	๔๐	๒๖	๓๕	๔๐	๒๖	๓๕	๔๐	๒๕	๓๕	๔๐

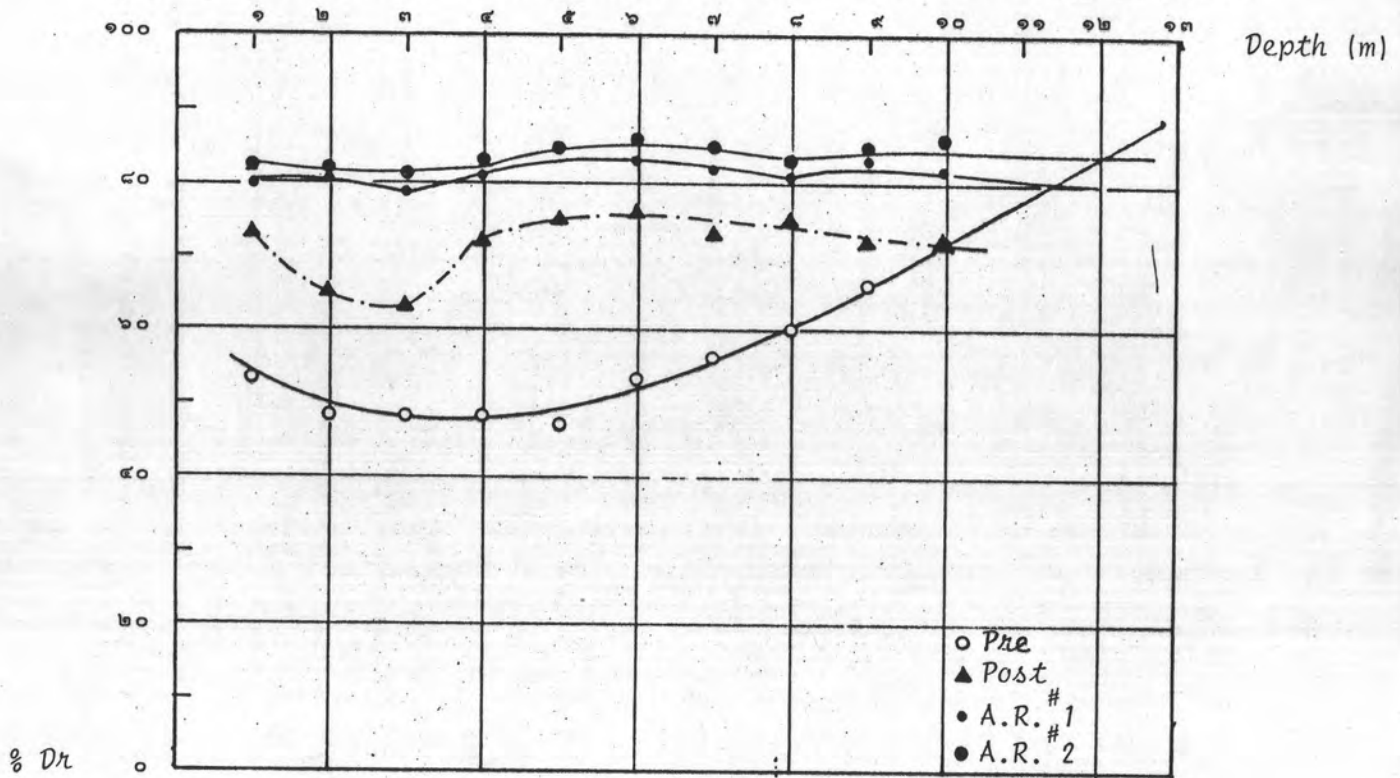
ตารางที่ 4.8 แสดงค่าความหนาแน่นสัมพัทธ์หลังการบดอัดโซน 3U และ 3C/D (R)

ความลึก (ม)	AD						3C/D (L)						4U (4P)					
	Post			A.R.#1			Post			A.R.#1			Post			A.R.#2		
	Min	\bar{X}	Max	Min	\bar{X}	Max	Min	\bar{X}	Max	Min	\bar{X}	Max	Min	\bar{X}	Max	Min	\bar{X}	Max
๑.๐๐	๗๕	๘๖	๙๔	๗๗	๘๖	๙๔	๕๐	๖๖	๗๔	๗๑	๗๗	๘๓	๖๘	๘๒	๙๔	๗๑	๘๕	๙๖
๒.๐๐	๗๒	๘๑	๘๙	๗๕	๘๘	๙๔	๕๑	๖๗	๗๕	๖๓	๗๕	๘๕	๖๒	๗๕	๘๗	๖๗	๗๗	๘๖
๓.๐๐	๖๑	๗๒	๘๒	๗๐	๘๑	๙๐	๖๔	๗๖	๘๓	๗๑	๗๙	๘๕	๖๓	๗๕	๘๕	๖๕	๗๘	๘๙
๔.๐๐	๖๐	๗๒	๘๓	๗๒	๘๒	๙๐	๖๒	๘๑	๘๙	๗๕	๘๓	๙๑	๖๒	๗๓	๘๒	๖๔	๗๘	๘๖
๕.๐๐	๕๘	๗๐	๘๓	๗๑	๗๗	๘๓	๖๘	๗๕	๘๑	๗๑	๗๘	๘๕	๗๑	๘๑	๘๙	๗๒	๘๓	๙๓
๖.๐๐	๕๙	๗๖	๘๙	๖๔	๗๖	๘๓	๗๓	๘๐	๘๗	๗๕	๘๐	๘๕	๗๘	๘๔	๙๑	๗๘	๘๐	๙๐๑
๗.๐๐	๖๕	๗๐	๗๖	๗๒	๗๖	๘๐	-	-	-	-	-	-	-	-	-	-	-	-
E/A	๑๙๕.๑๕			๒๘๑.๕๒			๒๙๗.๕๐			๒๖๗.๘๗			๒๓๘.๓๓			๒๕๕.๑๖		
\bar{D}_h	๖๕	๗๕	๘๕	๗๒	๘๑	๘๘	๖๕	๗๒	๘๓	๗๑	๗๙	๘๕	๖๗	๗๕	๘๔	๗๐	๘๒	๙๒
\bar{N}	๑๗	๒๕	๓๑	๒๒	๒๘	๓๕	๑๗	๒๓	๒๘	๒๑	๒๕	๓๐	๑๘	๒๖	๓๓	๒๐	๒๘	๓๕

ตารางที่ 4.9 แสดงค่าความหนาแน่นสัมพัทธ์หลังการบดอัดไซน AD, 3C/D (L) และ 4U (4P)

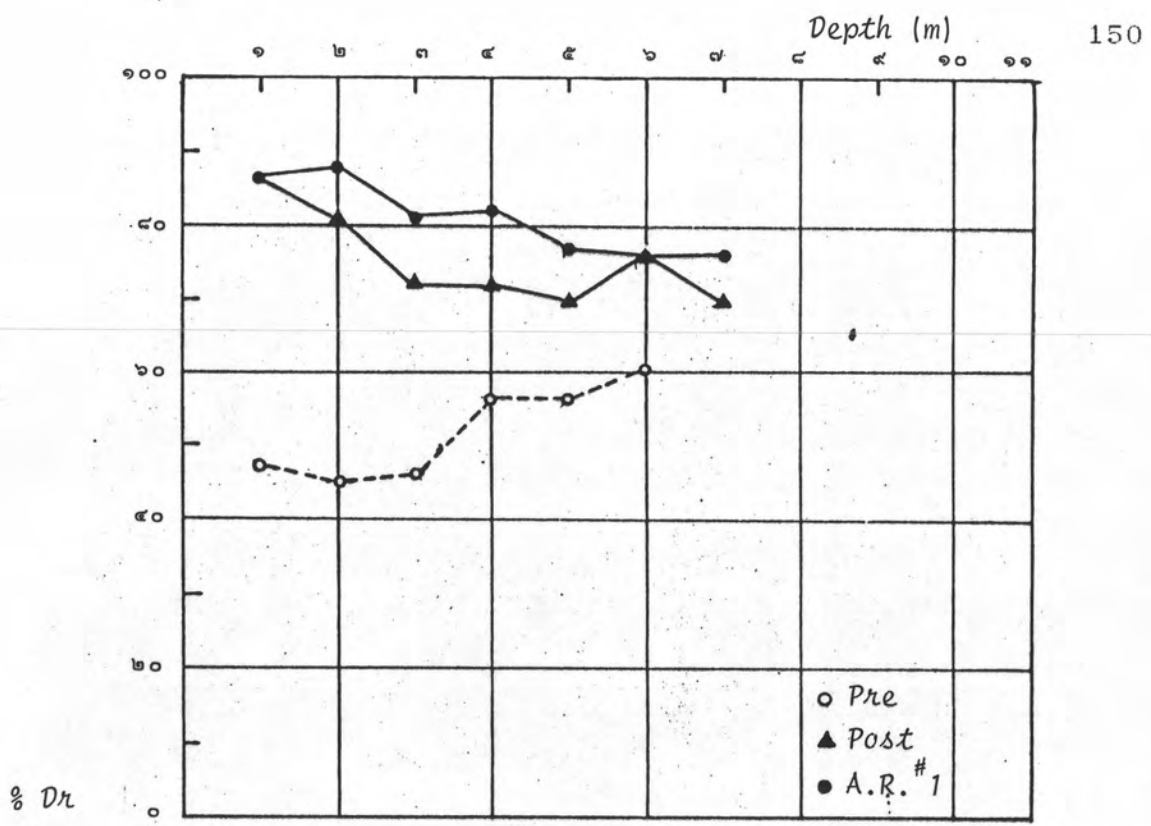


รูปที่ 4.8 (ก) แสดงค่าความหนาแน่นสัมพัทธ์เฉลี่ยก่อนและหลังการบดอัดโซน 3U

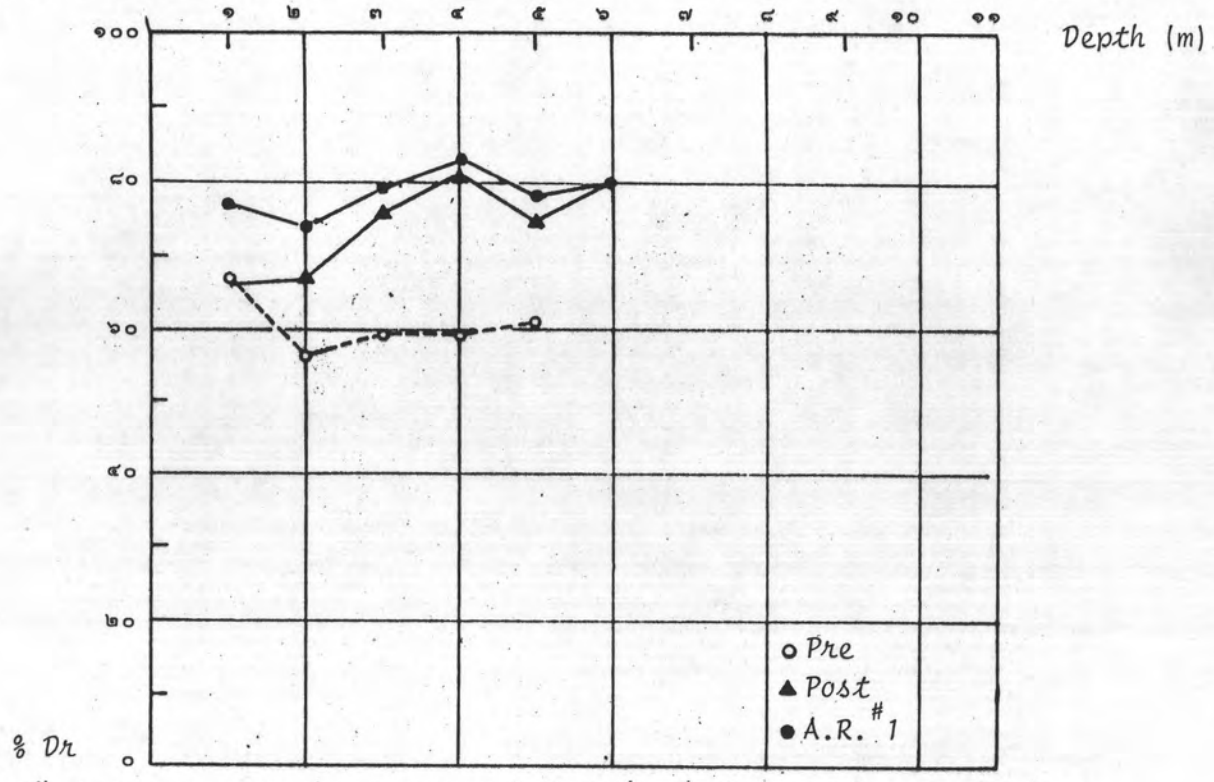


รูปที่ 4.8 (ข) แสดงค่าความหนาแน่นสัมพัทธ์เฉลี่ยก่อนและหลังการบดอัดโซน 3C/D (R)

3C/D (R)

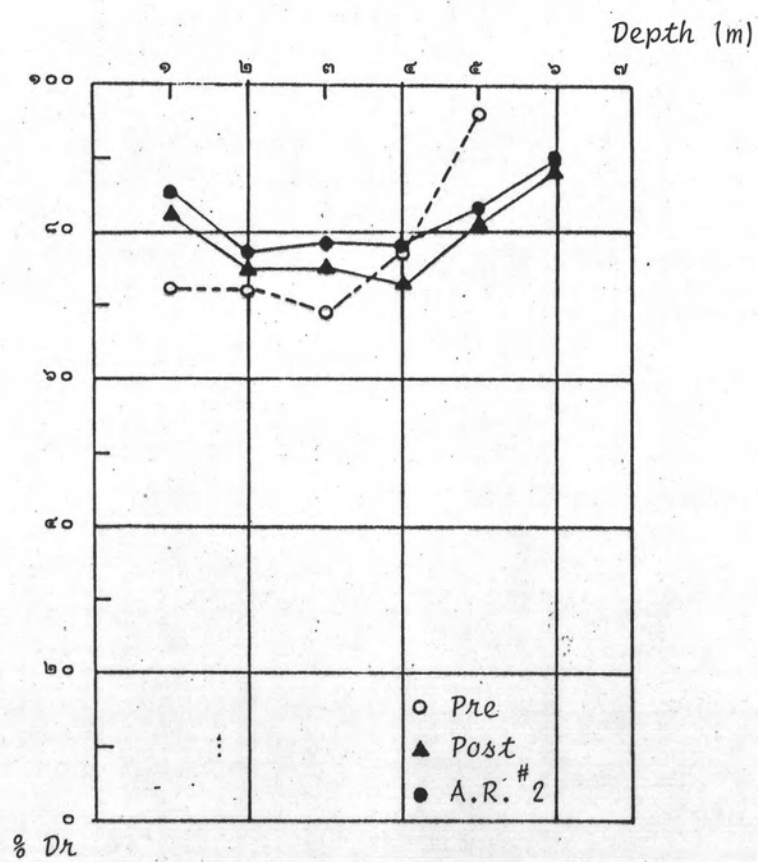


รูปที่ 4.9 (ก) แสดงค่าความหนาแน่นสัมพัทธ์เฉลี่ยก่อนและหลังการบดอัดโซน AD



รูปที่ 4.9 (ข) แสดงค่าความหนาแน่นสัมพัทธ์เฉลี่ยก่อนและหลังการบดอัดโซน

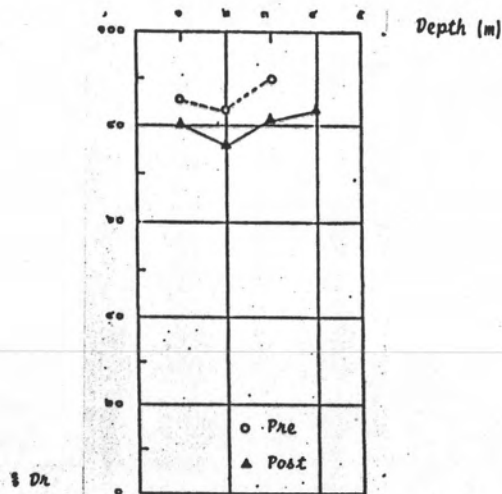
3C/D (L)



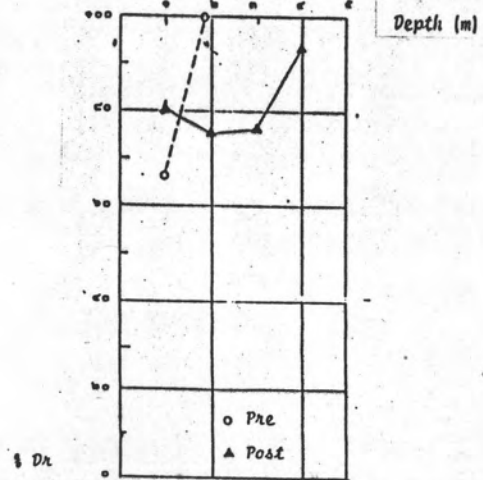
รูปที่ 4.9 (ค) แสดงค่าความหนาแน่นสัมพัทธ์เฉลี่ยก่อนและหลังการบดอัด
โซน 4U (4P)

ความลึก (ม)	4U (3P)			4C/D (L)			4C/D (R)		
	Post			Post			Post		
	Min	\bar{X}	Max	Min	\bar{X}	Max	Min	\bar{X}	Max
๑.๐๐	๖๔	๘๐	๙๒	๗๑	๘๐	๘๘	๗๐	๘๒	๙๒
๒.๐๐	๖๔	๗๖	๘๓	๗๑	๗๕	๗๙	๖๘	๗๙	๘๘
๓.๐๐	๗๕	๘๑	๘๘	๖๖	๗๖	๘๕	๗๑	๘๐	๘๘
๔.๐๐	๗๔	๘๓	๙๓	๘๒	๙๓	๑๐๒	๗๕	๘๓	๙๐
E/A	๑๕๐.๙๓			๑๘๓.๓๓			๒๑๐.๘๓		
\bar{D}_r	๗๑	๘๐	๘๙	๗๓	๘๑	๘๘	๗๑	๘๑	๙๐
\bar{N}	๑๙	๒๔	๓๐	๒๐	๒๕	๓๐	๑๙	๒๕	๓๐

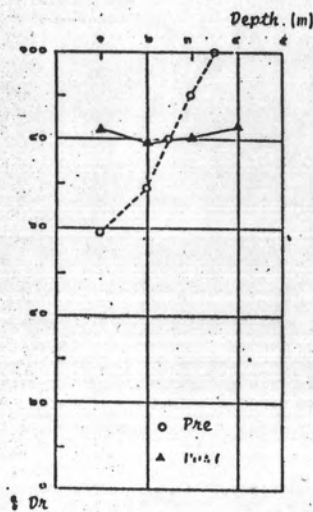
ตารางที่ 4.10 แสดงค่าความหนาแน่นสัมพัทธ์หลังการบดอัดโซน 4U (3P)
4C/D (L) และ 4C/D (R)



รูปที่ 4.10 (ก) แสดงค่าความหนาแน่นสัมพัทธ์เฉลี่ย ก่อนและหลังการบดอัด โชน 4U (3P)



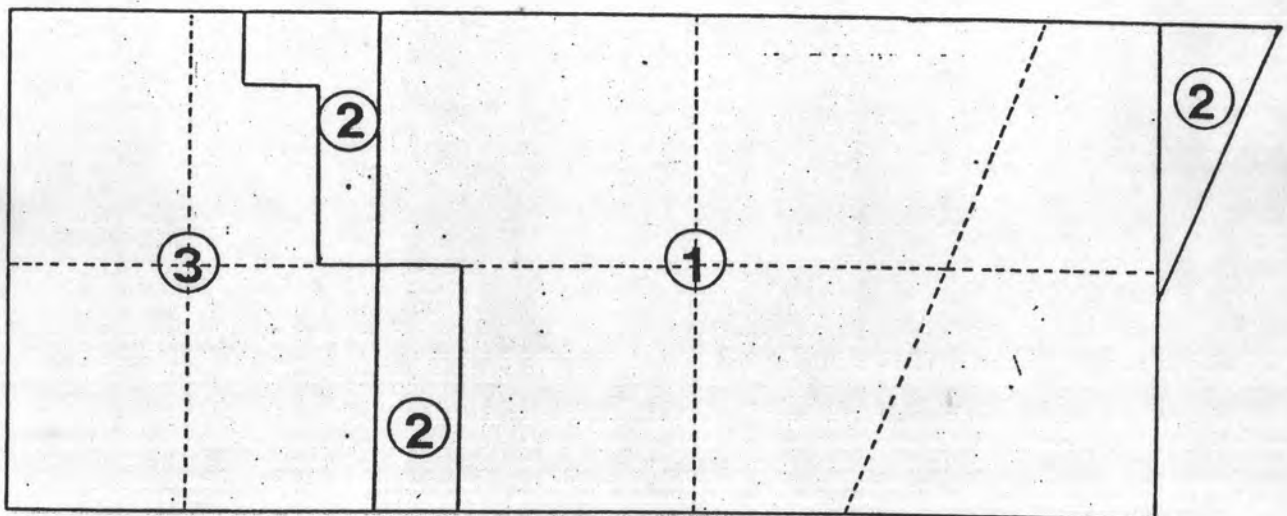
รูปที่ 4.10 (ข) แสดงค่าความหนาแน่นสัมพัทธ์เฉลี่ย ก่อนและหลังการบดอัด โชน 4C/D (L)



รูปที่ 4.10 (ค) แสดงค่าความหนาแน่นสัมพัทธ์เฉลี่ย ก่อนและหลังการบดอัด โชน 4C/D (R)

4.2 ผลกระทบเนื่องจากสภาพความแน่นตามธรรมชาติ และความหนาของชั้นทรายที่มีต่อการปรับปรุง

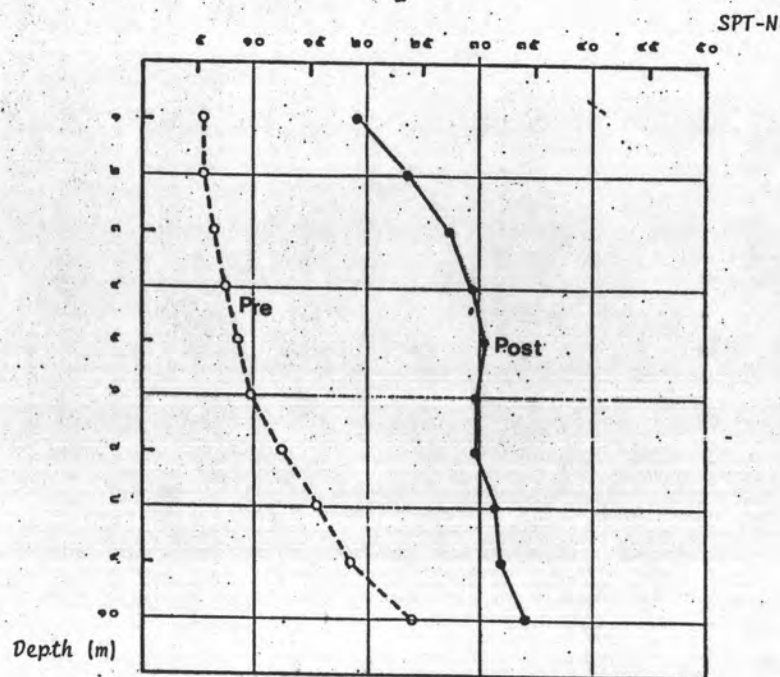
จากผลการทดสอบความแน่นก่อนและหลังการบดอัด บริเวณโซนต่าง ๆ ดังกล่าวมาแล้วในหัวข้อ 3.4 และหัวข้อที่ 4.1 เห็นได้ว่าการปรับปรุงชั้นทรายของเขื่อนทับเสลา โดยวิธีการทุบด้วยลูกตุ้มหนัก มีประสิทธิภาพเพียงพอและเหมาะสมในการปรับปรุงคุณสมบัติของชั้นทรายให้มีสภาพแน่นขึ้น ได้เฉพาะบางโซนเท่านั้น เมื่อทำการวิเคราะห์ถึงผลกระทบเนื่องจากสภาพความแน่นตามธรรมชาติ และความหนาของชั้นทรายก่อนการบดอัด โดยแบ่งพื้นที่วิเคราะห์ตามสภาพความแน่นตามธรรมชาติและความหนาของชั้นทรายก่อนการบดอัดที่ใกล้เคียงกัน ออกเป็น 3 บริเวณ (ดังแสดงในรูปที่ 4.11) จากผลการเปรียบเทียบค่าความแน่นและความหนาของชั้นทรายเป็นแสดงในตารางที่ 4.11 และรูปที่ 4.12 - รูปที่ 4.16 พอสรุปได้ดังนี้



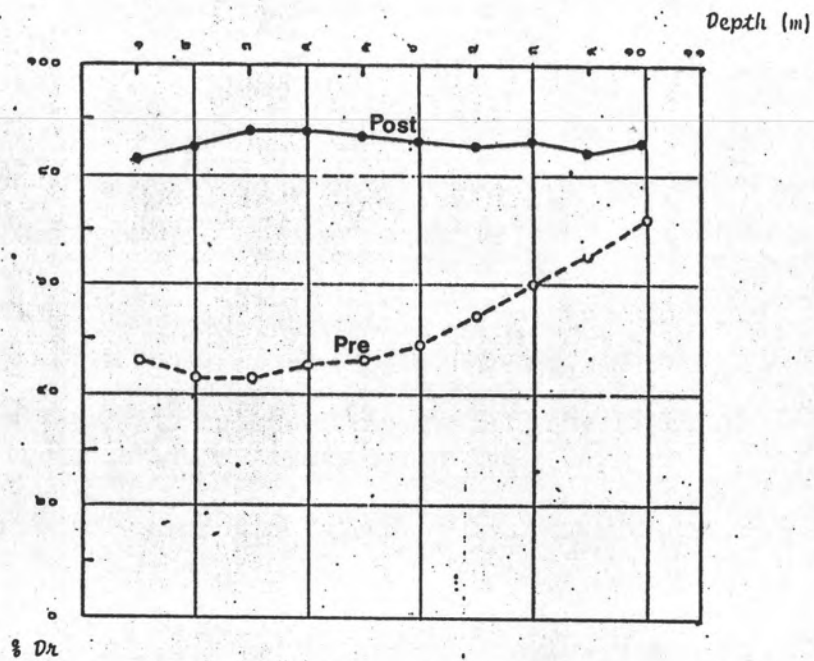
รูปที่ 4.11 แสดงการแบ่งพื้นที่วิเคราะห์ตามสภาพความแน่นความหนาของชั้นทรายก่อนบดอัด

1. พื้นที่ปรับปรุงบริเวณโซน 1U, 1C/D, 2U, 2C/D, 3U และ 3C/D (R) (พื้นที่วิเคราะห์ที่ 1) จากระยะ กม. 2+160 ถึง ระยะ กม. 2+500

สภาพความแน่นตามธรรมชาติของชั้นทรายก่อนการบดอัดมีสภาพหลวมถึงแน่นปานกลาง ($38\% < Dr < 63\%$) โดยความแน่นจะเพิ่มขึ้นเมื่อระดับความลึกจากผิวดินเพิ่มขึ้น ความหนาของชั้นทรายก่อนการบดอัดอยู่ระหว่าง 9-12 เมตร เมื่อทำการปรับปรุงโดยวิธีการทุบด้วยลูกตุ้มหนัก ปรากฏว่ามีประสิทธิภาพเพียงพอและเหมาะสมในการปรับปรุงคุณสมบัติของชั้นดินเดิม ซึ่งเป็นทรายหลวมให้มีความแน่นเพิ่มขึ้นจนถึงเกณฑ์ความแน่นที่กำหนดได้ หลังการบดอัดดินจะเปลี่ยนสภาพเป็นดินแน่นถึงแน่นมาก ($76\% < Dr < 94\%$) โดยค่าความแน่นหลังการบดอัดจะเป็นสัดส่วนกับพลังงานที่ใช้ในการทุบต่อพื้นที่ สำหรับการวิจัยนี้พบว่า เมื่อใช้พลังงานในการทุบต่อพื้นที่ประมาณ 400-500 ตัน ม./ม.² จะทำให้ชั้นทรายมีค่า N หลังจากรบอัดเพิ่มขึ้นเป็น 2-4 เท่าของค่า N ก่อนบดอัด และเมื่อดินมีขนาดละเอียดของอนุภาคที่เหมาะสม วิธีการนี้สามารถปรับปรุงจนค่าความแน่นสัมพัทธ์สูงถึง 95%



รูปที่ 4.12 แสดงค่า SPT-N เฉลี่ยก่อนและหลังการบดอัดของพื้นที่วิเคราะห์ที่ 1



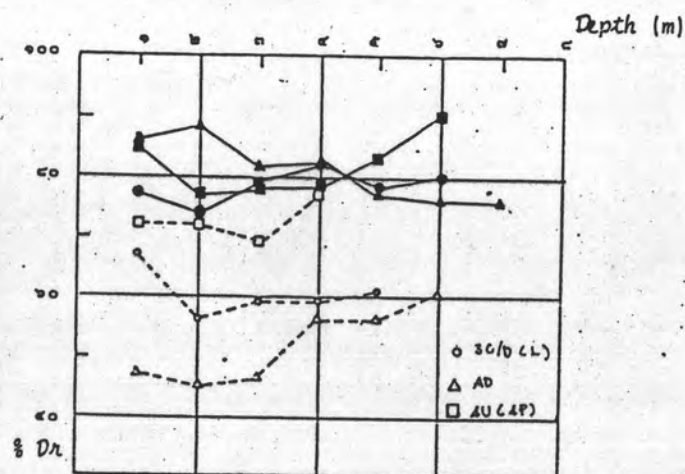
รูปที่ 4.13 แสดงค่าเฉลี่ยของความหนาแน่นสัมพัทธ์ก่อนและหลังการบำบัดของพื้นที่วิเคราะห์ที่ 1

2. พื้นที่ปรับปรุงบริเวณโซน AD, 3C/D (L) และ 4U (4P) (พื้นที่วิเคราะห์ที่ 2)

2.1 โซน AD ความหนาของชั้นทรายก่อนการบำบัดอยู่ระหว่าง 5-7 เมตร สภาพความแน่นตามธรรมชาติของชั้นทรายก่อนบำบัดมีสภาพหลวมถึงแน่นปานกลาง ($33\% < Dr < 64\%$) เมื่อทำการปรับปรุงโดยวิธีการทุบด้วยลูกตุ้มหนัก พลังงานที่ใช้ทุบต่อพื้นที่เท่ากับ 282 ตัน ม./ม.² ปรากฏว่าทำให้ดินเดิมมีสภาพที่แน่นขึ้น ($72\% < Dr < 88\%$) และความหนาของชั้นทรายหลังการบำบัดจะเพิ่มขึ้นประมาณ 1 เมตร

2.2 โซน 3C/D (L) ความหนาของชั้นทรายก่อนบดอัดอยู่ระหว่าง 5-7 เมตร สภาพความแน่นตามธรรมชาติของชั้นทรายก่อนบดอัดมีสภาพหลวมถึงแน่น ($40\% < Dr < 72\%$) เมื่อทำการปรับปรุงโดยวิธีการทุบด้วยลูกตุ้มหนัก พลังงานที่ใช้ในการทุบต่อพื้นที่เท่ากับ 268 ตัน ม./ม.² ปรากฏว่า ทำให้ดินเดิมมีสภาพที่แน่นขึ้น ($71\% < Dr < 85\%$) และความหนาของชั้นทรายหลังการบดอัดจะเพิ่มขึ้นประมาณ 1 เมตร

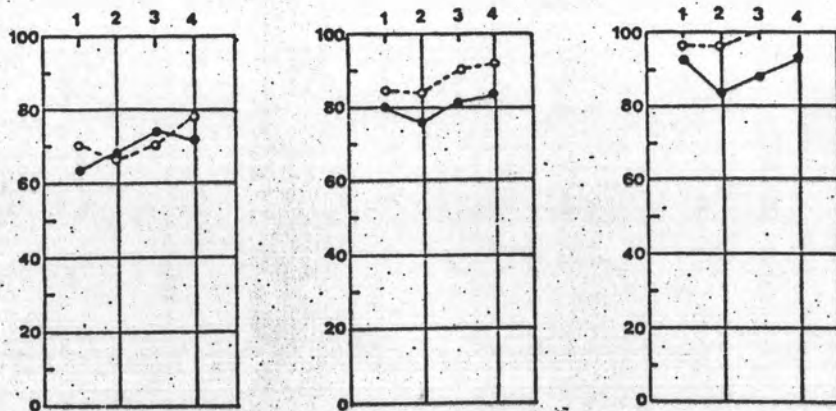
2.3 โซน 4U (4P) ความหนาของชั้นทรายก่อนการบดอัดอยู่ระหว่าง 4.5-6.0 เมตร สภาพความแน่นตามธรรมชาติของชั้นทรายก่อนการบดอัดมีสภาพแน่นปานกลางถึงแน่น ($59\% < Dr < 91\%$) เมื่อทำการปรับปรุงโดยวิธีการทุบด้วยลูกตุ้มหนัก พลังงานที่ใช้ในการทุบต่อพื้นที่เท่ากับ 259 ตัน ม./ม.² ปรากฏว่าทำให้ดินมีสภาพแน่นขึ้นเล็กน้อย ($70\% < Dr < 92\%$) และความหนาของชั้นทรายหลังการบดอัดจะเพิ่มขึ้นประมาณ 1.15 เมตร



รูปที่ 4.14 แสดงการเปรียบเทียบค่าความแน่นสัมพัทธ์เฉลี่ยก่อนและหลังการบดอัดที่ระดับต่าง ๆ ของพื้นที่วิเคราะห์ที่ 2

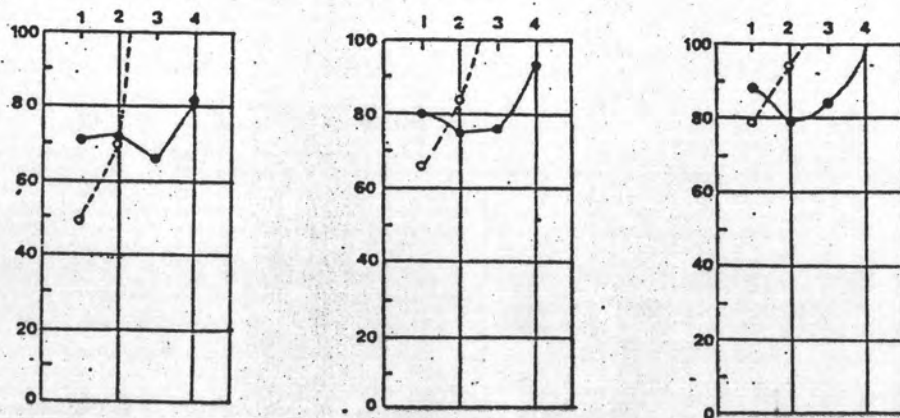
3. พื้นที่ปรับปรุงบริเวณโซน 4U (3P), 4C/D (L), 4C/D (R) และโซนที่ 5 (พื้นที่วิเคราะห์ที่ 3) จากระยะ กม. 2+000 ถึง ระยะ กม. 2+160

3.1 โซน 4U (3P) สภาพความแน่นตามธรรมชาติก่อนการบดอัด มีสภาพแน่นถึงแน่นมาก ($D_r > 70\%$) ซึ่งมากกว่าเกณฑ์ความแน่นที่กำหนดเกือบทุกจุด ความหนาของชั้นทรายก่อนการบดอัดอยู่ระหว่าง 2.5-4.5 เมตร เมื่อทำการปรับปรุงโดยวิธีด้วยลูกตุ้มหนัก พลังงานที่ใช้ในการทุบต่อพื้นที่เท่ากับ 150 ตันม./ม.² ปรากฏว่า ทำให้ดินเดิมซึ่งมีสภาพแน่นอยู่แล้วกลับมีสภาพความแน่นลดลง โดยค่าความหนาแน่นสัมพัทธ์หลังการบดอัดลดลงเล็กน้อยประมาณ 5% ถึง 10% และความหนาของชั้นทรายหลังการบดอัดเพิ่มขึ้นประมาณ 80 ซม.



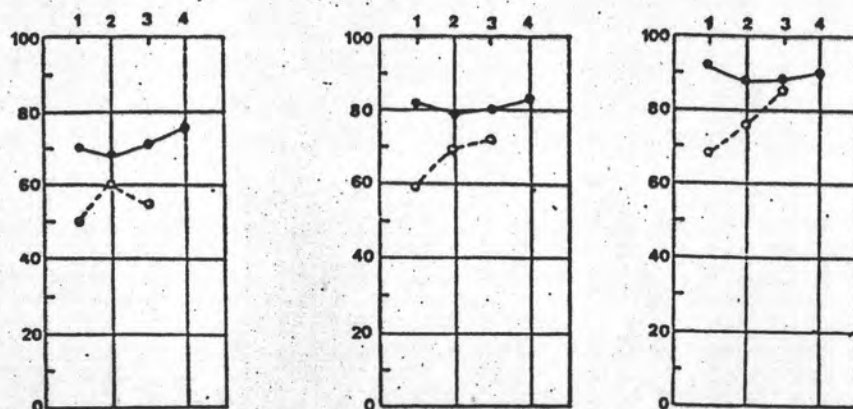
รูปที่ 4.15 (ก) แสดงค่าความหนาแน่นสัมพัทธ์ก่อนและหลังการบดอัดโซน 4U (3P)

3.2 โชน 4C/D (L) สภาพความแน่นตามธรรมชาติของชั้นทราย ก่อนการบดอัดมีสภาพแน่นปานกลางถึงแน่น ($49\% < Dr < 79\%$) ที่ระดับเมตรแรกจากผิวดิน และมีสภาพแน่นถึงแน่นมากที่ระดับเมตรถัด ๆ มา ($Dr > 70\%$) เห็นได้ว่าความแน่นก่อนบดอัดไม่ถึงเกณฑ์ความแน่นที่กำหนดเฉพาะเมตรแรกเท่านั้น ความหนาของชั้นทรายก่อนบดอัดอยู่ระหว่าง 2.0-3.5 เมตร เมื่อทำการปรับปรุงโดยวิธีการทุบด้วยลูกตุ้มหนัก พลังงานที่ใช้ในการทุบต่อพื้นที่เท่ากับ 183 ตัน ม./ม.² ปรากฏว่า ทำให้ดินเดิมมีความแน่นเพิ่มขึ้นที่ระดับเมตรแรก แต่ที่ระดับความลึกถัด ๆ มามีความแน่นลดลง และความหนาของชั้นทรายหลังการบดอัดเพิ่มขึ้นประมาณ 1.20 เมตร



รูปที่ 4.15 (ข) แสดงค่าความหนาแน่นสัมพัทธ์ก่อนและหลังการบดอัด โชน 4C/D (L)

3.3 โชน 4C/D (R) สภาพความแน่นตามธรรมชาติของชั้นทราย ก่อนบดอัดมีสภาพแน่นปานกลาง ($55\% < Dr < 76\%$) ส่วนมากความแน่นก่อนการบดอัดยังไม่ถึงเกณฑ์ที่กำหนดความหนาของชั้นทรายก่อนการบดอัดอยู่ระหว่าง 3.5-4.5 เมตร เมื่อทำการปรับปรุงโดยวิธีการทุบด้วยลูกตุ้มหนัก พลังงานที่ใช้ในการทุบต่อพื้นที่เท่ากับ 211 ตัน ม./ม.² ปรากฏว่า ทำให้ดินเดิมมีสภาพที่แน่นขึ้น โดยค่าความหนาแน่นสัมพัทธ์จะเพิ่มขึ้นประมาณ 15% แต่ความหนาของชั้นทรายหลังการบดอัดเพิ่มขึ้นประมาณ 80 ซม.

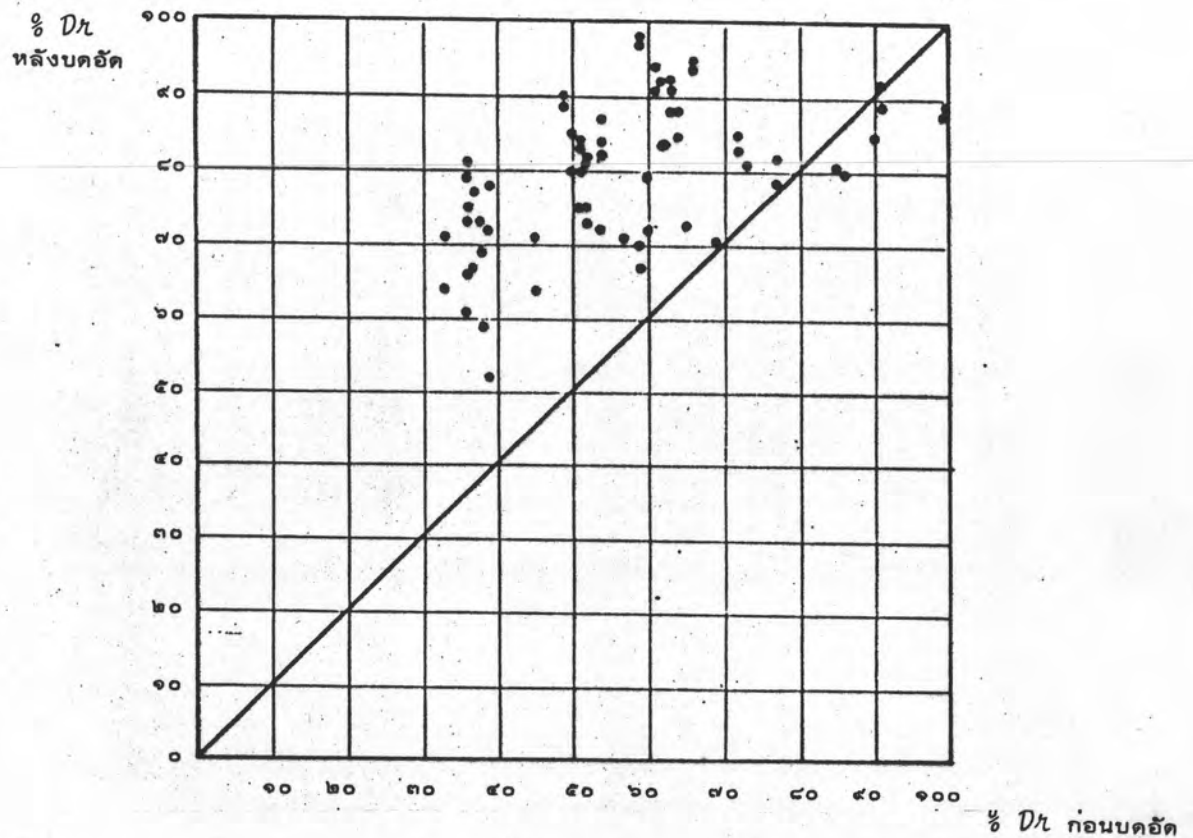


รูปที่ 4.15 (ค) แสดงค่าความหนาแน่นสัมพัทธ์ก่อนและหลังการบดอัด โชน 4C/D (R)

3.4 โชนที่ 5 ทั้งหมด สภาพความแน่นตามธรรมชาติของชั้นทราย ก่อนการบดอัดมีสภาพแน่นถึงแน่นมาก ($Dr > 70\%$) ส่วนมากความแน่นจะมากกว่าเกณฑ์ความแน่นที่กำหนด ยกเว้นที่ระดับเมตรแรกจากผิวดินบางบริเวณเท่านั้น ความหนาของชั้นทรายก่อนการบดอัดอยู่ระหว่าง 2-4 เมตร เมื่อทำการปรับปรุงโดยวิธีการทุบด้วยลูกตุ้มหนัก พลังงานที่ใช้ในการทุบต่อพื้นที่เท่ากับ 147 ตัน ม./ม.² ปรากฏว่า ทำให้ดินเดิมซึ่งมีสภาพแน่นอยู่แล้วกลับมีสภาพความแน่นลดลงเล็กน้อย ซึ่งคล้ายกับโชน 4U (3P)

พื้นที่ วิเคราะห์	โซน	สภาพความแน่นก่อนบดอัด	D ก่อนบดอัด		D หลังบดอัด		%D ก่อนบดอัด		%D หลังบดอัด		N̄ ก่อนบดอัด		N̄ หลังบดอัด		N หลัง / Nก่อน		
			Min	Max	Min	Max	Min	Max	Min	Max	Min	Max	Min	Max	Min	Max	Min
1	1U	หลวม - ปานกลาง	๑๐.๒๕	๕๕	๕๕	๕๕	๕๐	๕๕	๗	๑๑	๑๖	๓๐	๓๗	๕๕	๕๐	๓.๕	๒.๕
	2U	หลวม - ปานกลาง	๑๐.๕๖	๕๕	๖๖	๘๕	๗๕	๘๕	๗	๑๓	๒๐	๒๕	๓๕	๔๒	๕.๐	๒.๗	๒.๑
	1C/D	หลวม - ปานกลาง	๕.๕๕	๕๐	๖๑	๘๕	๗๗	๘๕	๖	๑๑	๑๗	๒๗	๓๕	๔๑	๕.๕	๓.๑	๒.๕
	2C/D	หลวม - ปานกลาง	๑๐.๓๕	๕๒	๖๒	๘๒	๗๒	๘๒	๗	๑๒	๑๗	๒๕	๓๒	๓๕	๓.๕	๒.๗	๒.๓
	3U	หลวม - ปานกลาง	๕.๗๕	๕๑	๖๓	๘๒	๗๕	๘๒	๖	๑๒	๑๕	๒๖	๓๓	๔๐	๕.๓	๒.๕	๒.๒
	3C/D (R)	หลวม - ปานกลาง	๕.๕๗	๕๓	๖๕	๘๓	๗๓	๘๓	๖	๑๓	๑๕	๒๕	๓๓	๔๐	๕.๒	๒.๕	๒.๑
2	AD	หลวม - ปานกลาง	๖.๐๕	๕๒	๖๕	๘๑	๗๒	๘๑	๕	๑๑	๑๗	๒๒	๒๕	๓๕	๕.๕	๒.๕	๒.๐
	3C/D (L)	หลวม - แน่น	๕.๗๖	๕๐	๗๒	๘๑	๗๑	๘๕	๕	๑๕	๒๐	๒๑	๒๕	๓๐	๒.๖	๑.๕	๑.๕
	4U (4P)	ปานกลาง - แน่น	๕.๒๕	๕๗	๕๑	๗๒	๕๒	๗๒	๑๕	๑๕	๓๓	๒๐	๒๕	๓๕	๑.๕	๑.๒	๑.๑
3	4U (3P)	แน่น - แน่นมาก	๓.๕๕	๖๕	๗๐	๘๑	๗๐	๘๑	๑๗	๒๖	๓๖	๑๕	๒๕	๓๐	๑.๑	๐.๕	๐.๕
	4C/D (L)	ปานกลาง - แน่นมาก	๒.๕๕	๖๕	๗๐	๘๑	๗๓	๘๑	๑๓	๒๓	๓๓	๒๐	๒๕	๓๐	๑.๕	๑.๑	๐.๕
	4C/D (R)	ปานกลาง - แน่น	๓.๕๓	๕๗	๕๕	๗๑	๕๑	๗๑	๑๑	๑๕	๒๖	๑๕	๒๕	๓๐	๑.๗	๑.๓	๐.๕

ตารางที่ 4.11 แสดงการเปรียบเทียบระหว่างค่าความแน่นและความหนาของชั้นทรายก่อนการบดอัดกับหลังการบดอัดบริเวณอื่นต่าง ๆ



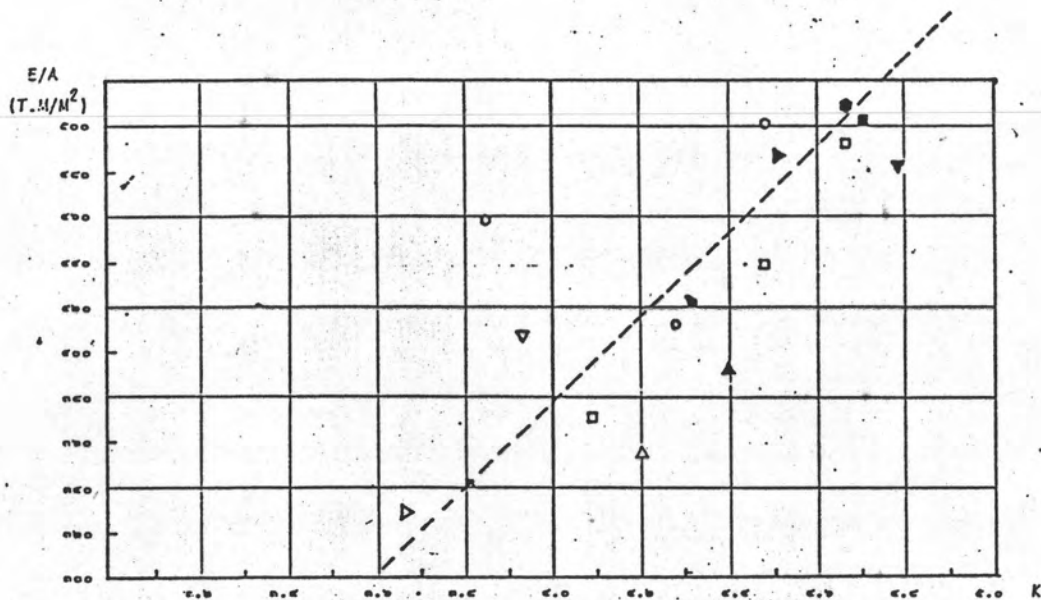
รูปที่ 4.16 แสดงการเปรียบเทียบระหว่าง ค่าความหนาแน่นสัมพัทธ์ก่อนและหลัง การบดอัด

4.3 ผลการประมาณค่าความลึกอิทธิพลและค่าสัมประสิทธิ์แก้ไข

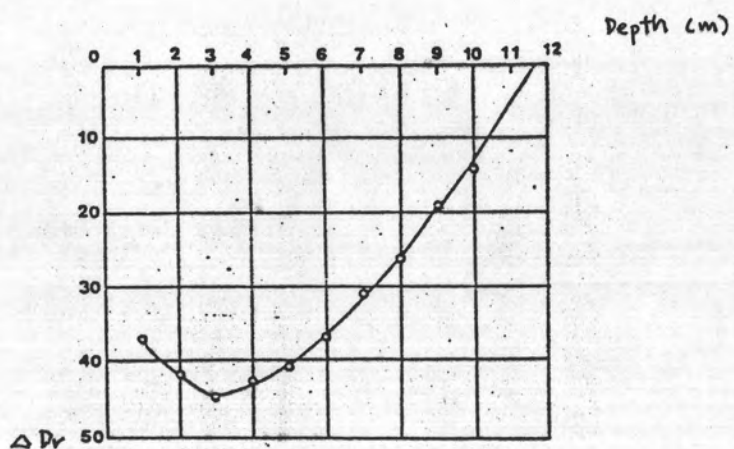
เนื่องจากความหนาของชั้นทรายบริเวณที่ทำการปรับปรุงมีขนาดจำกัดอยู่ระหว่าง 2-12 เมตร ซึ่งไม่มากนักทำให้ไม่สามารถทราบถึงค่าความลึกอิทธิพลที่แน่นอนได้ เนื่องจากตอกทดสอบถึงระดับชั้นหินแข็งก่อนที่ค่าความแน่นหลังการบดอัดจะลดลงจนเท่ากับความแน่นก่อนบดอัด ดังนั้นในการหาความลึกอิทธิพล จะได้จากการประมาณค่าโดยลากเส้นเชื่อมต่อค่าความแน่นก่อน และหลังการบดอัด ให้มาบรรจบกัน (ซึ่งหาได้เฉพาะพื้นที่วิเคราะห์ที่ 1 เท่านั้น ส่วนพื้นที่วิเคราะห์ที่ 2 และที่ 3 ความหนาของชั้นทรายน้อยเกินไป) ผลการประมาณค่าความลึกอิทธิพล และค่าสัมประสิทธิ์แก้ไข บริเวณโซนต่าง ๆ ของพื้นที่วิเคราะห์ที่ 1 ได้แสดงไว้ในตารางที่ 4.12

โซน		ความลึกอิทธิพล (ม)	W	H	K	E/A
1U	Post	๑๑.๐๐	๓๐	๒๒	๐.๔๒๘	๔๑๒.๘๗
	A.R. # 1	๑๑.๑๐	๓๐	๒๒	๐.๔๓๒	๔๑๒.๘๕
2U	Post	๑๐.๘๐	๓๐	๒๒	๐.๔๒๐	๓๕๓.๑๐
	A.R. # 1	๑๑.๓๐	๓๐	๒๒	๐.๔๕๐	๓๙๑.๘๙
1C/D	Post	๑๐.๑๐	๓๐	๒๒	๐.๓๙๓	๔๐๕.๘๘
	A.R. # 1	๑๒.๓๐	๓๐	๒๒	๐.๔๗๙	๔๘๒.๖๕
2C/D	Post	๙.๕๐	๓๐	๒๒	๐.๓๖๖	๓๒๗.๓๙
	A.R. # 1	๑๑.๖๐	๓๐	๒๒	๐.๔๕๑	๔๘๖.๒๐
3U	Post	๑๐.๕๐	๓๐	๒๒	๐.๔๐๙	๓๖๙.๑๓
	A.R. # 1	๑๑.๕๐	๓๐	๒๒	๐.๔๕๘	๔๓๗.๘๘
	A.R. # 2	๑๒.๐๐	๓๐	๒๒	๐.๔๖๗	๔๙๕.๙๖
	A.R. # 3	๑๒.๑๐	๓๐	๒๒	๐.๔๗๑	๕๐๒.๖๐
3C/D (R)	Post	๙.๕๐	๓๐	๒๒	๐.๓๘๕	๔๕๘.๓๒
	A.R. # 1	๑๑.๕๐	๓๐	๒๒	๐.๔๕๘	๔๙๙.๓๘
	A.R. # 2	๑๒.๐๐	๓๐	๒๒	๐.๔๖๗	๕๐๗.๘๓

ตารางที่ 4.12 แสดงผลการประมาณค่าความลึกอิทธิพลและค่าสัมประสิทธิ์แก้ไข
บริเวณโซนต่าง ๆ ของพื้นที่วิเคราะห์ที่ 1



รูปที่ 4.17 แสดงความสัมพันธ์ระหว่างพลังงานที่ใช้ในการทุบ/พื้นที่ กับ ค่า K



รูปที่ 4.18 แสดงผลการประมาณค่าความลึกอิทธิพลจากผลต่าง ของความหนาแน่นสัมพันธ์ก่อนและหลังการบดอัดของพื้นที่วิเคราะห์ที่ 1

4.4 ความสัมพันธ์ระหว่างพลังงานที่ใช้ในการทุบตอพื้นที่กับความแน่น หลังการบดอัด

ในการปรับปรุงชั้นทรายหวมถึงแน่นปานกลาง ความหนาแน่นสัมพัทธ์น้อยกว่า 70% โดยวิธีการทุบด้วยลูกตุ้มหนักพบว่า ความแน่นของดินจะเพิ่มขึ้นตามพลังงานที่ใช้ในการทุบตอพื้นที่ ดังกล่าวมาแล้วในหัวข้อ 4.2 เมื่อนำค่าพลังงานที่ใช้ในการทุบตอพื้นที่กับความแน่นหลังการบดอัดมาเปรียบเทียบความสัมพันธ์พบว่า ค่า SPT-N ณ ระดับต่ำสุดที่ต้องการบดอัด ซึ่งเทียบเท่ากับค่าเฉลี่ยของความหนาแน่นสัมพัทธ์ (ทุกระดับความลึก) แปรผันเป็นสัดส่วนโดยตรงกับค่าลอการิทึมของพลังงานที่ใช้ในการทุบตอพื้นที่ ($\bar{N} \propto \log E/A$) เมื่อทำการวิเคราะห์ความสัมพันธ์ระหว่างค่า SPT-N ณ ระดับต่ำสุดที่ต้องการบดอัด ซึ่งเทียบเท่ากับค่าเฉลี่ยของความหนาแน่นสัมพัทธ์เฉลี่ย $(\bar{N})_{mean}$ และค่า SPT-N ณ ระดับต่ำสุดที่ต้องการบดอัด ซึ่งเทียบเท่ากับค่าเฉลี่ยของความหนาแน่นสัมพัทธ์ต่ำสุด $(\bar{N})_{min}$ กับค่าลอการิทึมของพลังงานที่ใช้ในการทุบตอพื้นที่ ($\log E/A$) บริเวณโซนต่าง ๆ (ดังแสดงไว้ในตารางที่ 4.13) ซึ่งผลการวิเคราะห์สมการการถดถอยเชิงเส้น (Linear Regression) ในโซนต่าง ๆ ได้แสดงไว้ในตาราง 4.14 ได้ค่าเฉลี่ยของความสัมพันธ์ระหว่าง $(\bar{N})_{mean}$ กับ $\log (E/A)$ ดังสมการที่ 4.1 โดยมีค่าส่วนเบี่ยงเบนมาตรฐานเท่ากับ 0.10 และค่าเฉลี่ยของความสัมพันธ์ระหว่าง $(\bar{N})_{min}$ กับ $\log (E/A)$ ดังสมการที่ 4.2 โดยมีค่าส่วนเบี่ยงเบนมาตรฐานเท่ากับ 0.11 ซึ่งได้แสดงกราฟความสัมพันธ์ไว้ในรูปที่ 4.19 และ 4.20 ตามลำดับ

$$\log (E/A) = 2.00 + 0.0182 (\bar{N})_{mean} \dots\dots\dots (4.1)$$

$$\log (E/A) = 2.25 + 0.0143 (\bar{N})_{min} \dots\dots\dots (4.2)$$

โชน		E/A	log (E/A)	$(\bar{D}_r)_{mean}$	$(\bar{N})_{mean}$	$(\bar{D}_r)_{min}$	$(\bar{N})_{min}$
1U	Post	๔๑๒.๔๘	๒.๖๑๕๔	๘๔	๓๖	๗๔	๒๔
	A.R. #1	๔๒๗.๔๕	๒.๖๒๕๓	๘๐	๓๗	๘๑	๓๐
2U	Post	๓๕๓.๑๐	๒.๕๔๗๔	๘๔	๓๓	๗๒	๒๔
	A.R. #1	๓๕๒.๘๔	๒.๕๔๕๓	๘๗	๓๕	๗๘	๒๘
1C/D	Post	๔๐๕.๐๘	๒.๖๐๗๕	๘๐	๓๐	๖๗	๒๐
	A.R. #1	๔๘๒.๖๔	๒.๖๘๓๖	๘๕	๓๔	๗๗	๒๗
2C/D	Post	๓๒๗.๓๔	๒.๕๑๕๑	๗๓	๒๔	๕๔	๑๖
	A.R. #1	๔๘๖.๒๐	๒.๖๘๖๘	๘๓	๓๒	๗๒	๒๔
3U	Post	๓๔๖.๑๓	๒.๕๔๗๘	๗๕	๒๖	๖๑	๑๗
	A.R. #1	๔๓๗.๘๘	๒.๖๔๑๔	๘๐	๒๔	๖๖	๒๐
	A.R. #2	๔๔๔.๔๖	๒.๖๔๕๖	๘๓	๓๒	๗๓	๒๔
	A.R. #3	๕๐๒.๖๐	๒.๗๐๑๒	๘๔	๓๓	๗๕	๒๖
3C/D (R)	Post	๔๕๘.๓๒	๒.๖๖๑๑	๗๒	๒๔	๕๔	๑๖
	A.R. #1	๔๔๔.๓๘	๒.๖๔๘๔	๘๒	๓๑	๖๔	๒๒
	A.R. #2	๕๐๗.๘๓	๒.๗๐๕๗	๘๔	๓๓	๗๓	๒๕
AD	Post	๑๔๕.๑๔	๒.๒๔๐๓	๗๕	๒๔	๖๔	๑๗
	A.R. #1	๒๘๑.๕๒	๒.๔๔๔๕	๘๑	๒๘	๗๒	๒๒
3C/D (L)	Post	๒๔๗.๕๐	๒.๓๙๓๖	๗๒	๒๓	๖๔	๑๗
	A.R. #1	๒๖๗.๘๗	๒.๔๒๗๔	๗๔	๒๕	๗๑	๒๑
4U (4P)	Post	๒๓๘.๓๓	๒.๓๗๗๒	๗๔	๒๖	๖๗	๑๘
	A.R. #1	๒๕๔.๑๖	๒.๔๑๓๖	๘๒	๒๘	๗๐	๒๐

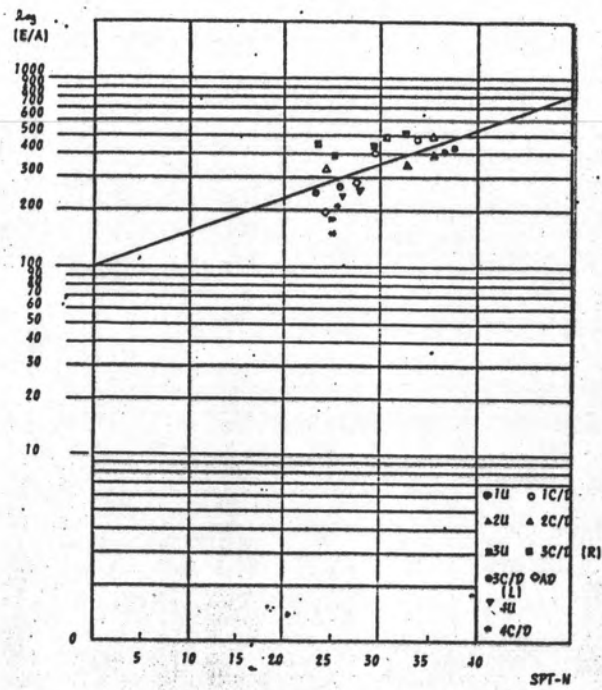
ตารางที่ 4.13 แสดงการเปรียบเทียบความสัมพันธ์ระหว่าง $\log (E/A)$
กับ $(\bar{N})_{max}$ และ $(\bar{N})_{min}$

พื้นที่วิเคราะห์	โซน	%D _h ก่อนบดอัด	ความหนาของ ชั้นทราย	สมการความสัมพันธ์
1	1U	49	10.25	$\log (E/A) = 1.950+0.0182 (\bar{N})_{mean}$
	2U	54	10.86	$\log (E/A) = 1.950+0.0182 (\bar{N})_{mean}$
	1C/D	50	9.98	$\log (E/A) = 2.067+0.0182 (\bar{N})_{mean}$
	2C/D	52	10.38	$\log (E/A) = 2.079+0.0182 (\bar{N})_{mean}$
	3U	51	9.75	$\log (E/A) = 2.113+0.0182 (\bar{N})_{mean}$
	3C/D (R)	53	9.97	$\log (E/A) = 2.123+0.0182 (\bar{N})_{mean}$
	Mean	52	10.20	$\log (E/A) = 2.057+0.0182 (\bar{N})_{mean}$
2	AD	52	6.05	$\log (E/A) = 1.896+0.0182 (\bar{N})_{mean}$
	3C/D (L)	60	5.76	$\log (E/A) = 1.963+0.0182 (\bar{N})_{mean}$
	4U (4P)	77	5.25	$\log (E/A) = 1.902+0.0182 (\bar{N})_{mean}$
	Mean	63	5.69	$\log (E/A) = 1.920+0.0182 (\bar{N})_{mean}$
3	4U (3P)	86	3.54	$\log (E/A) = 1.722+0.0182 (\bar{N})_{mean}$
	4C/D (L)	85	2.86	$\log (E/A) = 1.811+0.0182 (\bar{N})_{mean}$
	4C/DR	73	3.93	$\log (E/A) = 1.857+0.0182 (\bar{N})_{mean}$
	Mean	81	3.44	$\log (E/A) = 1.797+0.0182 (\bar{N})_{mean}$

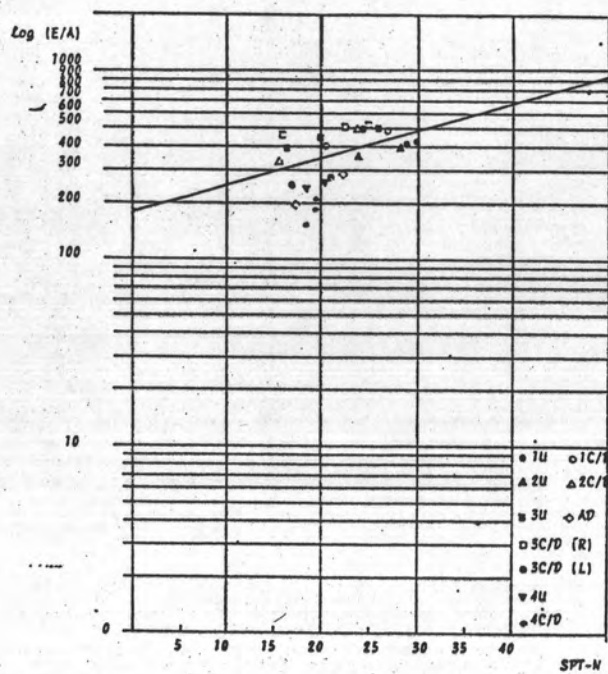
ตารางที่ 4.14 (ก) แสดงความสัมพันธ์ระหว่าง $\log (E/A)$ กับ $(\bar{N})_{mean}$
บริเวณโซนต่าง ๆ

พื้นที่วิเคราะห์	โซน	%Dr ก่อนบดอัด	ความหนาของ ชั้นทราย	สมการความสัมพันธ์
1	1U	49	10.25	$\log (E/A) = 2.198+0.0143 (\bar{N})_{min}$
	2U	54	10.86	$\log (E/A) = 2.198+0.0143 (\bar{N})_{min}$
	1C/D	50	9.98	$\log (E/A) = 2.305+0.0143 (\bar{N})_{min}$
	2C/D	52	10.38	$\log (E/A) = 2.318+0.0143 (\bar{N})_{min}$
	3U	51	9.75	$\log (E/A) = 2.349+0.0143 (\bar{N})_{min}$
	3C/D (R)	53	9.97	$\log (E/A) = 2.385+0.0143 (\bar{N})_{min}$
	Mean	52	10.20	$\log (E/A) = 2.292+0.0143 (\bar{N})_{min}$
2	AD	52	6.05	$\log (E/A) = 2.087+0.0143 (\bar{N})_{min}$
	3C/D (L)	60	5.76	$\log (E/A) = 2.138+0.0143 (\bar{N})_{min}$
	4U (4P)	77	5.25	$\log (E/A) = 2.116+0.0143 (\bar{N})_{min}$
	Mean	63	5.69	$\log (E/A) = 2.114+0.0143 (\bar{N})_{min}$
3	4U (3P)	86	3.54	$\log (E/A) = 1.909+0.0143 (\bar{N})_{min}$
	4C/D (L)	85	2.86	$\log (E/A) = 1.981+0.0143 (\bar{N})_{min}$
	4C/D (R)	73	3.93	$\log (E/A) = 2.044+0.0143 (\bar{N})_{min}$
	Mean	81	3.44	$\log (E/A) = 1.978+0.0143 (\bar{N})_{min}$

ตารางที่ 4.14 (ข) แสดงความสัมพันธ์ระหว่าง $\log (E/A)$ กับ $(\bar{N})_{min}$
บริเวณโซนต่าง ๆ



รูปที่ 4.19 แสดงความสัมพันธ์ระหว่าง $\log (E/A)$ กับ (\bar{N}) mean



รูปที่ 4.20 แสดงความสัมพันธ์ระหว่าง $\log (E/A)$ กับ $(\bar{N})_{min}$

4.5 ความสัมพันธ์ระหว่างอัตราส่วนปริมาตรทรายที่ใช้เติมกลบหลุมกับความแน่นหลังการบดอัด

4.5.1 ผลการประมาณค่าอัตราส่วนปริมาตรทรายที่ใช้เติมกลบหลุม

เนื่องจากการวัดปริมาตรทรายที่ใช้เติมกลบหลุม (ΔV) โดยตรงในสนาม เพื่อให้ได้ค่าที่ละเอียดแม่นยำทำได้ยากและเสียเวลา จึงทำการวัดทางอ้อมโดยทำการวัดความลึกของหลุมแล้วความกว้างของปากหลุมและนำมาประมาณค่าปริมาตรทรายที่ใช้เติมกลบหลุม จากสมการที่ 3.4 ซึ่งกำหนดสมมติฐานว่าหลุมที่เกิดจากการทุบเป็นรูปกรวยตัดทอนไม่มีการปูดของดินบริเวณปากหลุมและความกว้างของกันหลุมมีขนาดเท่ากับความกว้างของฐานลูกตุ้ม จากผลการประมาณค่าปริมาตรทรายที่ใช้เติม (ΔV) และอัตราส่วนปริมาตรทรายที่ใช้เติมกลบหลุม ($\Delta V/V$) ของแต่ละโซนบริเวณที่ทำการปรับปรุง ซึ่งแสดงไว้ในตารางที่ 4.15 (ก) - 4.15 (ง)

Phase	n	ΔV	$\Delta V/V$	$\Delta V/V$	E/A	$\Sigma E/A$
๑	๒๐๖	๔๔๓	๓.๘๔๔	๓.๘๔๔	๓๖.๓๒	๓๖.๓๒
๒	๒๔๗	๗๓๓	๓.๒๓๖	๗.๑๓๕	๕๒.๓๕	๘๘.๖๗
๓	๑๓๓	๕๑๕	๒.๒๗๔	๔.๕๐๘	๒๓.๕๔	๑๑๒.๑๑
๔	๑๕๕	๕๐๕	๑.๗๘๘	๑๑.๑๔๖	๒๗.๓๒	๑๓๔.๔๓
๕	๓๑๖	๗๗๖	๓.๕๒๖	๑๔.๖๒๒	๕๕.๗๑	๑๙๕.๑๔
Retamp	๕๔๐	๕๐๖	๕.๐๐	๑๔.๖๒๒	๘๖.๓๘	๒๘๑.๕๒

หมายเหตุ : โซน AD มีพื้นที่ ๓.๗๔๔ ม.^๒ ความหนาเฉลี่ยของชั้นทราย ๖.๐๕ ม. ดังนั้นปริมาตรเท่ากับ ๒๒.๖๕๑ ม.^๓

ตารางที่ 4.15 (ก) แสดงอัตราส่วนปริมาตรทรายที่ใช้เติมกลบหลุมโซน AD

Phase	n	ΔV	$\Delta V/V$	$\Delta V/V$	E/A	Z E/A
๑	๒๕๐	๑๑๒๕	๑.๒๗๕	๑.๒๗๕	๑๔.๓๓	๑๔.๓๓
๒	๒๕๐	๑๐๖๕	๑.๒๐๑	๒.๕๗๖	๑๔.๓๓	๓๖.๖๗
๓	๗๒๐	๒๓๗๑	๒.๖๗๗	๕.๑๕๓	๕๕.๐๐	๔๑.๖๗
๔	๕๖๐	๒๗๕๘	๓.๑๑๕	๘.๒๖๗	๗๓.๓๓	๑๖๕.๐๐
๕	๒๕๐๐	๕๕๐๐	๖.๒๑๕	๑๕.๕๘๒	๑๔๓.๓๓	๓๕๔.๓๒
๖	๔๕๐	๑๒๑๓	๑.๓๗๐	๑๕.๘๕๒	๑๔๓.๓๓	๕๑๒.๕๘
Retamp	๑๒๕	๑๗๘	๐.๒๐๑	๑๖.๐๕๕	๕.๕๗	๕๒๑.๕๕

หมายเหตุ : โชน 1U มีพื้นที่ ๘,๖๕๐ ม.^๒ ความหนาชั้นทรายเฉลี่ย

๑๐.๒๕ ม. ดังนั้นปริมาตรเท่ากับ ๘๘,๕๖๐ ม.^๓

ตารางที่ 4.15 (ข) แสดงอัตราส่วนปริมาตรทรายที่ใช้เติมกลบหลุมโชน 1U

Phase	n	ΔV	$\Delta V/V$	$\Delta V/V$	E/A	Z E/A
๑	๒๑๑	๑๕๑๕	๐.๘๕๕	๐.๘๕๕	๔.๕๘	๔.๕๘
๒	๕๘๘	๒๑๓๖	๑.๓๕๒	๒.๒๕๗	๒๖.๖๘	๓๖.๒๖
๓	๒๐๑๕	๕๕๕๘	๒.๘๕๘	๕.๐๕๕	๔๑.๕๕	๑๒๗.๗๐
๔	๑๒๐๔	๒๕๐๑	๑.๕๒๐	๖.๖๑๕	๕๕.๘๖	๑๘๖.๕๖
๕	๗๐๐	๑๑๐๒	๐.๗๐๕	๗.๓๒๕	๓๑.๗๗	๒๑๕.๓๓
๖	๑๕๓๘	๒๖๗๕	๑.๖๗๓	๘.๐๑๗	๖๕.๒๕	๒๗๕.๕๘
๗	๑๖๒๐	๒๖๕๗	๑.๗๐๘	๑๐.๗๒๕	๗๓.๕๑	๓๕๓.๑๐
Retamp	๔๕๖	๑๗๖๐	๑.๒๕๑	๑๑.๕๖๗	๓๘.๓๕	๓๕๒.๒๒

หมายเหตุ : โชน 2U มีพื้นที่ ๑๕,๕๕๕ ม.^๒ ความหนาของชั้นทรายเฉลี่ย

๑๐.๘๖ ม. ดังนั้นปริมาตรเท่ากับ ๑๕๗,๕๕๕ ม.^๓

ตารางที่ 4.15 (ค) แสดงอัตราส่วนปริมาตรทรายที่ใช้เติมกลบหลุมโชน 2U

Phase	n	ΔV	$\Delta V/V$	$\Delta V/V$	E/A	$\Sigma E/A$
๑	๓๘๕	๒๔๒๔	๑.๕๕๓	๑.๕๕๓	๒๐.๘๑	๒๐.๘๑
๒	๓๘๕	๑๕๓๒	๑.๒๕๗	๓.๒๕๐	๒๐.๘๑	๔๑.๖๒
๓	๕๓๔	๑๔๕๕	๑.๑๕๕	๔.๔๔๔	๒๔.๑๕	๖๕.๗๖
๔	๗๗๐	๑๖๕๕	๑.๓๕๕	๕.๗๙๓	๔๑.๖๒	๑๑๒.๓๘
๕	๑๑๕๕	๑๗๕๕	๑.๕๓๕	๗.๒๒๘	๖๒.๕๓	๑๗๔.๙๑
๖	๒๓๑๓	๓๑๕๕	๒.๕๘๕	๙.๘๑๒	๑๒๔.๘๖	๒๙๙.๘๑
๗	๔๗๕	๒๕๕๑	๒.๑๒๖	๑๑.๙๓๘	๕๒.๗๐	๓๕๒.๕๑
๘	๔๗๕	๒๕๕๘	๒.๐๑๗	๑๓.๙๕๕	๕๒.๗๐	๔๐๕.๐๘
Retamp	๑๔๓๕	๒๓๐๐	๑.๘๘๗	๑๕.๘๔๐	๗๗.๕๗	๔๘๒.๖๕

หมายเหตุ : โชน 1C/D มีพื้นที่ ๑๒,๒๑๐ ม.^๒ ความหนาของชั้นทรายเฉลี่ย ๔.๔๘ ม. ดังนั้นปริมาตรเท่ากับ ๑๒๑,๘๕๖ ม.^๓

ตารางที่ 4.15 (ง) แสดงอัตราส่วนปริมาตรทรายที่ใช้เติมกลบหลุมโชน 1C/D

Phase	n	ΔV	$\Delta V/V$	$\Sigma(\Delta V/V)$	E/A	$\Sigma(E/A)$
๑	๓๓๕	๑๗๕๕	๑.๗๗๗	๑.๗๗๗	๒๒.๗๓	๒๒.๗๓
๒	๖๗๐	๑๘๕๕	๑.๘๓๗	๓.๖๑๔	๔๕.๕๗	๖๘.๓๐
๓	๘๐๕	๑๗๓๐	๑.๗๑๕	๕.๓๒๙	๕๕.๕๖	๑๒๓.๘๖
๔	๑๐๐๕	๑๗๓๐	๑.๖๘๗	๗.๐๑๕	๖๘.๖๑	๑๙๒.๔๖
๕	๑๐๐๕	๑๖๕๕	๑.๖๖๘	๘.๖๘๓	๖๘.๖๑	๒๖๑.๐๗
๖	๑๐๐๕	๑๕๖๖	๑.๕๖๖	๑๐.๒๔๙	๖๘.๖๑	๓๒๙.๖๘
๗	๗๘๐	๒๓๕๓	๒.๓๗๐	๑๒.๖๑๙	๕๖.๕๕	๓๘๖.๒๓
๘	๗๘๐	๑๕๖๓	๑.๕๕๐	๑๔.๑๖๙	๕๖.๕๕	๔๓๒.๗๘
๙	๗๘๐	๑๕๕๐	๑.๕๓๕	๑๖.๐๐๔	๕๖.๕๕	๔๘๙.๓๓

หมายเหตุ : โชน 2C/D มีพื้นที่ ๔,๗๖๕ ม.^๒ ความหนาของชั้นทรายเฉลี่ย ๑๐.๓๘ ม. ดังนั้นปริมาตรเท่ากับ ๑๐๐,๕๕๖ ม.^๓

ตารางที่ 4.15 (จ) แสดงอัตราส่วนปริมาตรทรายที่ใช้เติมกลบหลุมโชน 2C/D

Phase	น	ΔV	$\Delta V/V$	$\Sigma(\Delta V/V)$	E/A	$\Sigma(E/A)$
๑	๒๔๖	๑๔๖๖	๐.๕๖๔	๐.๕๖๔	๑๖.๕๖	๑๖.๕๖
๒	๕๔๐	๓๕๔๐	๒.๒๕๕	๓.๒๕๕	๒๕.๐๕	๓๗.๖๐
๓	๑๐๕๐	๓๐๓๐	๑.๔๕๕	๕.๒๕๕	๕๕.๐๖	๙๒.๖๐
๔	๑๓๕๕	๓๖๓๓	๒.๓๖๖	๗.๖๓๓	๕๕.๕๐	๑๔๘.๑๐
๕	๑๓๕๐	๔๒๕๐	๒.๕๖๒	๑๐.๕๕๕	๕๕.๕๖	๑๙๕.๖๖
๖	๓๕๕๓	๖๕๓๕	๕.๕๐๖	๑๕.๕๖๖	๑๖๕.๕๗	๓๖๕.๑๓
Retamp # 1	๑๖๖๐	๒๖๖๓	๑.๖๓๐	๑๖.๖๕๖	๖๕.๖๕	๔๓๑.๕๕
Retamp # 2	๑๓๕๕	๒๑๖๓	๑.๕๓๓	๑๘.๑๖๕	๕๖.๐๕	๔๘๕.๕๖
Retamp # 3	๑๕๐	๒๕๓	๐.๑๕๗	๑๘.๓๖๖	๖.๖๕	๕๐๒.๖๐

หมายเหตุ : โชน 3U มีพื้นที่ ๑๕.๕๖๖ ม.^๒ ความหนาของชั้นทรายเฉลี่ย ๕.๖๕๕ ม. ดังนั้นปริมาตรเท่ากับ ๑๕๑.๖๖๖ ม.^๓

ตารางที่ 4.15 (จ) แสดงอัตราส่วนปริมาตรทรายที่ใช้เติมโชน 3U

Phase	น	ΔV	$\Delta V/V$	$\Sigma(\Delta V/V)$	E/A	$\Sigma(E/A)$
๑	๓๖๓	๒๐๖๖	๑.๕๕๗	๑.๕๕๗	๒๑.๕๖	๒๑.๕๖
๒	๕๕๐	๑๕๑๕	๑.๓๕๕	๓.๖๖๖	๒๖.๕๖	๔๘.๑๕
๓	๗๖๕	๒๖๖๖	๒.๓๕๐	๕.๕๕๖	๕๓.๖๕	๑๐๑.๖๖
๔	๗๖๕	๒๐๐๕	๑.๖๕๖	๗.๓๕๕	๕๖.๓๕	๑๖๘.๖๕
๕	๗๖๖	๑๕๖๕	๑.๓๖๕	๘.๖๖๖	๕๖.๖๖	๑๙๕.๖๖
๖	๑๑๕๐	๒๖๖๕	๒.๓๕๑	๑๐.๑๐๓	๖๕.๕๓	๒๕๕.๑๐
๗	๑๕๖๖	๒๕๕๖	๒.๒๖๐	๑๓.๓๖๓	๕๖.๖๖	๓๑๐.๖๖
๘	๑๕๕๕	๔๐๕๕	๓.๖๖๖	๑๖.๕๕๖	๑๑๕.๐๕	๔๕๕.๖๖
Retamp # 1	๖๕๐	๑๖๕๕	๑.๕๕๐	๑๘.๕๓๐	๕๖.๕๕	๕๐๐.๖๕
Retamp # 2	๑๕๐	๒๕๐	๐.๒๖๕	๑๐.๖๕๕	๕.๕๕	๕๐๕.๖๕

หมายเหตุ : โชน 3C/D หึ่งขาว มีพื้นที่ ๑๐.๕๓๐ ม.^๒ ความหนาของชั้นทรายเฉลี่ย ๑๐.๕๐๖ ม. ดังนั้นปริมาตรเท่ากับ ๑๑๐.๕๑๕ ม.^๓

ตารางที่ 4.15 (ข) แสดงอัตราส่วนปริมาตรทรายที่ใช้เติมโชน 3C/D (R)

Phase	n	ΔV	$\Delta V/V$	$\Delta V/V$	E/A	$\Sigma E/A$
๑	๔๘๗	๒๔๑๔	๗.๘๓๑	๗.๘๓๑	๗๑.๘๐	๗๑.๘๐
๒	๔๔๐	๑๒๑๗	๓.๔๔๐	๑๑.๗๗๑	๓๕.๖๕	๑๐๗.๔๕
๓	๕๑๔	๑๑๓๒	๓.๖๖๕	๑๕.๕๓๖	๓๗.๓๔	๑๔๔.๘๙
๔	๕๐๕	๔๓๕	๓.๐๒๗	๑๘.๕๖๓	๓๖.๖๗	๑๘๑.๕๖
๕	๔๐๗	๑๔๕๘	๖.๓๓๔	๒๕.๘๐๒	๖๔.๕๖	๒๔๖.๑๒
Retamp	๒๘๐	๕๔๘	๑.๗๗๔	๒๖.๕๗๖	๒๐.๓๗	๒๖๗.๔๙

หมายเหตุ : โชน 3C/D สั่งซ้าย มีพื้นที่ ๔.๕๓๖ ม.^๒ ความหนาของชั้นทราย
เฉลี่ย ๖.๘๑ ม. ดังนั้นปริมาตรเท่ากับ ๓๐.๘๔๐ ม.^๓

ตารางที่ 4.15 (ข) แสดงอัตราส่วนปริมาตรทรายที่ใช้เติมกลบหลุมโชน 3C/D (L)

Phase	n	ΔV	$\Delta V/V$	$\Delta V/V$	E/A	$\Sigma E/A$
๑	๗๔๘	๑๔๕๖	๓.๗๓๖	๓.๗๓๖	๒๔.๒๖	๒๔.๒๖
๒	๗๐๒	๑๒๓๐	๓.๑๕๖	๖.๘๙๒	๒๕.๗๔	๕๐.๐๐
๓	๒๕๐๐	๒๕๔๒	๖.๖๕๑	๑๓.๕๔๓	๔๕.๐๕	๑๕๖.๖๗
๔	๔๔๐	๑๓๘๘	๓.๕๖๒	๑๗.๑๐๕	๓๖.๓๐	๑๘๒.๙๗
Retamp #1	๑๗๑	๑๑๕๒	๒.๔๕๖	๒๐.๐๖๑	๖.๒๗	๑๘๙.๒๔
Retamp #2	๕๔	๓๑๒	๐.๘๐๑	๒๐.๘๖๒	๑.๔๘	๑๙๐.๗๒

หมายเหตุ : โชน 4U มีพื้นที่ ๔.๐๐๐ ม.^๒ ความหนาเฉลี่ยของชั้นทราย
๕.๓๓ ม. ดังนั้นปริมาตรเท่ากับ ๓๘.๕๒๐ ม.^๓

ตารางที่ 4.15 (ค) แสดงอัตราส่วนปริมาตรทรายที่ใช้เติมกลบหลุมโชน 4U

Phase	n	ΔV	$\Delta V/V$	$\Delta V/V$	E/A	$\Sigma E/A$
๑	๑๒๔๐	๑๔๕๐	๔.๔๗	๔.๔๗	๔๓.๑๒	๔๓.๑๒
๒	๔๔๐	๔๗๐	๕.๒๓	๑๕.๒๐	๓๕.๖๕	๑๒๔.๗๗
๓	๗๕๐	๑๕๐๓	๘.๑๐	๒๓.๓๐	๕๔.๕๖	๑๘๓.๓๓

หมายเหตุ : โชน 4C/D สังกาย มีพื้นที่ ๔.๕๓๖ ม.^๒ ความหนาของชั้นทราย
เฉลี่ย ๔.๐๕ ม. ดังนั้นปริมาตรเท่ากับ ๑๘.๕๕๒ ม.^๓

ตารางที่ 4.15 (ญ) แสดงอัตราส่วนปริมาตรทรายที่ใช้เติมกลบหลุมโชน 4C/D (L)

Phase	n	ΔV	$\Delta V/V$	$\Delta V/V$	E/A	$\Sigma E/A$
๑	๑๐๕๒	๒๐๕๐	๔.๕๕	๔.๕๕	๗๕.๘๐	๗๕.๘๐
๒	๕๔๓	๔๘๑	๔.๕๔	๑๔.๑๔	๓๔.๕๐	๑๑๕.๓๐
๓	๕๑๓	๑๐๘๖	๕.๐๘	๑๔.๒๒	๓๗.๓๓	๑๕๒.๖๓
๔	๘๐๐	๑๖๐๕	๗.๕๓	๒๖.๗๕	๕๘.๒๐	๒๑๐.๘๓

หมายเหตุ : โชน 4C/D สังกวา มีพื้นที่ ๔.๕๓๖ ม.^๒ ความหนาของชั้นทราย
เฉลี่ย ๔.๗๑ ม. ดังนั้นปริมาตรเท่ากับ ๒๑.๓๖๕ ม.^๓

ตารางที่ 4.15 (ฎ) แสดงอัตราส่วนปริมาตรทรายที่ใช้เติมกลบหลุมโชน 4C/D (R)

4.5.2 ผลการวัดค่าระดับผิวดินที่เพิ่มขึ้น และการประมาณค่าอัตรา
ยุบทรุดตัว

จากผลการวัดระดับผิวดินก่อนและหลังการบดอัดบริเวณโซน
ต่าง ๆ นำมาประมาณหาค่าอัตราการยุบตัวของชั้นทรายดังแสดงในตารางที่ 4.16
พบว่า ค่าอัตราการยุบตัวในโซนต่าง ๆ จะมีค่าใกล้เคียงกันอยู่ระหว่าง 12%-16%
(ค่าเฉลี่ยประมาณ 14%)

โชน	๑	๒	๓	๔	๕	๖	๗
	ระดับผิวดิน ก่อนบดอัด (ม)	ระดับผิวดินหลัง บดอัด (ม)	ระดับผิวดินที่เพิ่ม ขึ้น (ม)	ความหนาของชั้น ทราย (ม)	อัตราการบดตัว ของดิน (%)	$\Delta V / V$ (%)	$\Delta h / h$ (%)
1U	๑๓๓.๕๕๔	๑๓๓.๕๘๒	๐.๐๒๘	๑๐.๒๕	๑.๒๑๐	๑๖.๐๕๕	๑๕.๕๕๕
2U	๑๓๓.๒๗๖	๑๓๓.๕๒๕	๐.๒๔๙	๑๐.๘๖	๑.๓๖๓	๑๑.๕๖๗	๑๐.๖๐๕
1C/D	๑๓๒.๕๕๐	๑๓๓.๑๐๐	๐.๕๕๐	๕.๕๕	๑.๒๐๒	๑๕.๘๕๐	๑๕.๖๓๘
2C/D	๑๓๓.๐๓๒	๑๓๓.๑๕๕	๐.๑๒๓	๑๐.๓๘	๑.๕๖๑	๑๖.๐๑๕	๑๕.๕๕๓
3U	๑๓๓.๕๕๖	๑๓๓.๕๘๓	๐.๐๒๗	๕.๗๕	๕.๕๘๖	๑๕.๓๑๖	๑๓.๕๓๐
3C/D (R)	๑๓๓.๕๓๗	๑๓๕.๒๑๕	๐.๒๗๗	๑๐.๕๐	๒.๖๓๘	๑๕.๖๕๕	๑๖.๐๐๗
AD	๑๓๓.๓๐๐	๑๓๓.๗๑๐	๐.๔๑๐	๖.๐๕	๖.๗๑๑	๑๘.๖๒๖	๑๑.๕๑๑
3C/D (L)	๑๓๓.๖๑๐	๑๓๕.๒๒๐	๐.๖๑๐	๖.๘๑	๖.๐๒๕	๒๖.๕๗๖	๑๗.๖๑๕
4U	๑๓๓.๕๕๕	๑๓๓.๕๕๗	๐.๐๐๒	๕.๓๓	๕.๓๐๗	๒๐.๘๖๖	๑๑.๕๕๕
4C/D (L)	๑๓๓.๕๕๕	๑๓๕.๐๐๒	๐.๕๕๗	๕.๐๕	๑๑.๑๕๕	๒๓.๓๐๐	๑๒.๑๐๒
4C/D (R)	๑๓๓.๓๖๕	๑๓๓.๕๑๒	๐.๑๔๗	๕.๗๑	๑๑.๖๓๕	๒๖.๗๕๐	๑๕.๑๑๕

หมายเหตุ : (๑) = ๒ - ๑, (๕) = ๓ : ๕, (๖) = ๖ - ๕

ตารางที่ 4.16 ผลการวัดค่าระดับผิวดินที่เพิ่มขึ้น และการประมาณค่าอัตราการยุบตัวของโชนต่าง ๆ

4.5.3 เปรียบเทียบค่าอัตราส่วนความหนาแน่นแห้งที่เพิ่มขึ้น กับอัตรา
การยุบตัว และกับอัตราส่วนปริมาตรทรายที่ใช้เติมกลบหลุม
 จากสมการที่ 3.5 อัตราการยุบตัวแปรผันโดยตรงกับอัตรา
 ส่วนความหนาแน่นแห้งที่เพิ่มขึ้น และจะเท่ากันเมื่อไม่มีความคลาดเคลื่อน เห็นได้
 ว่าค่าอัตราการยุบตัวและอัตราส่วนปริมาตรทรายที่ใช้เติมกลบหลุมพอเป็นแนวทาง
 ในการตรวจสอบหาความแน่นหลังการบดอัดได้ สำหรับการวิจัยนี้ได้ทำการเปรียบเทียบ
 เทียบค่าอัตราการยุบตัวและค่าอัตราส่วนปริมาตรทรายที่ใช้เติมกลบหลุมกับอัตรา
 ส่วนความหนาแน่นแห้งที่เพิ่มขึ้น โดยนำค่าความหนาแน่นสัมพัทธ์เฉลี่ยก่อนและหลัง
 การบดอัดบริเวณโซนต่าง ๆ มาหาความหนาแน่นแห้ง จากสมการที่ 2.2 (ค่า
 เฉลี่ยความหนาแน่นแห้งสูงสุดเท่ากับ 1.769 กรัม/ซม.³, ค่าเฉลี่ยความหนา
 แน่นแห้งต่ำสุดเท่ากับ 1.506 กรัม/ซม.³) จากผลการประมาณค่าความหนาแน่น
 แห้งก่อนและหลังการบดอัดและผลการเปรียบเทียบค่าอัตราส่วนความหนาแน่นแห้ง
 ที่เพิ่มขึ้นกับอัตราการยุบตัว และกับอัตราส่วนปริมาตรทรายที่ใช้เติมกลบหลุมบริเวณ
 โซนต่าง ๆ ซึ่งได้รวบรวมแสดงไว้ในตารางที่ 4.17 พบว่ามีค่าแตกต่างกันมาก
 โดยบริเวณโซนที่เป็นชั้นทรายหวมอัตราการยุบตัวมีค่าประมาณ 1.7-2.7 เท่า
 ของอัตราส่วนความหนาแน่นแห้งที่เพิ่มขึ้น และอัตราส่วนปริมาตรทรายที่ใช้เติม
 กลบหลุมมีค่าประมาณ 2.0-3.0 เท่าของอัตราส่วนความหนาแน่นแห้งที่เพิ่มขึ้น
 และบริเวณโซนที่เป็นชั้นทรายแน่นอัตราการยุบตัวและอัตราส่วนปริมาตรทรายที่ใช้
 เติมกลบหลุม มีค่ามากกว่า 5 เท่า ของอัตราส่วนความหนาแน่นแห้งที่เพิ่มขึ้น

โชน	๑ D _i (%) ก่อนบดอัด	๒ D _r (%) หลังบดอัด	๓ Y _d ก่อนบดอัด	๔ Y _d หลังบดอัด	๕ p _d /p _r Δ	๖ ΔV/V	๗ ⊖:⊕	๘ Δh/h	๙ ⊖:⊕
1U	๔๔	๕๐	๑.๖๓๕	๑.๗๖๒	๗.๗๖๘	๑๖.๐๕๕	๒.๐๖๗	๑๕.๕๕๕	๑.๕๑๑
2U	๕๕	๕๗	๑.๖๕๐	๑.๗๕๒	๖.๐๕๖	๑๑.๕๖๗	๑.๕๓๖	๑๐.๖๐๕	๑.๖๑๕
1C/D	๕๐	๕๕	๑.๖๓๘	๑.๗๕๖	๖.๕๕๓	๑๕.๕๕๐	๒.๕๐๒	๑๕.๖๓๘	๒.๖๒๐
2C/D	๕๒	๕๓	๑.๖๕๕	๑.๗๗๕	๕.๗๗๕	๑๖.๐๑๕	๒.๗๗๑	๑๕.๕๕๓	๒.๕๐๑
3U	๕๑	๕๔	๑.๖๕๑	๑.๗๕๖	๖.๑๑๕	๑๕.๓๑๒	๒.๕๗๕	๑๓.๕๓๐	๒.๕๕๗
3C/D (R)	๕๓	๕๕	๑.๖๕๗	๑.๗๕๒	๕.๗๖๘	๑๕.๖๕๕	๓.๖๓๖	๑๖.๐๐๗	๒.๖๕๕
AD	๕๒	๕๑	๑.๖๕๕	๑.๗๓๓	๕.๕๑๕	๑๕.๖๒๒	๓.๕๓๕	๑๑.๕๑๑	๒.๖๒๐
3C/D (L)	๖๐	๗๕	๑.๖๖๘	๑.๗๖๖	๓.๕๗๗	๒๖.๕๗๖	๑๗.๖๑๕	๑๗.๖๑๕	๕.๐๖๗
4U	๗๗	๕๖	๑.๗๒๐	๑.๗๓๖	๐.๕๓๐	๒๐.๕๖๖	๒๒.๕๓๖	๑๑.๕๕๕	๑๒.๕๒๐
4C/D (L)	๕๕	๕๑	๑.๗๕๖	๑.๗๓๓	-๐.๗๕๕	๒๓.๓๐	๒๓.๓๐	๑๒.๑๐๒	๑๒.๑๐๒
4C/D (R)	๗๓	๕๑	๑.๗๐๗	๑.๗๓๓	๑.๕๖๓	๒๖.๗๕	๑๗.๖๖	๑๕.๑๑๕	๕.๕๒

ตารางที่ 4.17 แสดงการเปรียบเทียบ $\frac{\Delta r_d}{r_d}$ กับ $\frac{\Delta h}{h}$ และกับ $\frac{\Delta V}{V}$

4.5.4 เปรียบเทียบความสัมพันธ์ระหว่างพลังงานที่ใช้ในการทูปต่อนั้น
ที่กับอัตราส่วนปริมาตรทรายที่ใช้ เติมกลบหลุม

จากผลการประมาณค่าอัตราส่วนปริมาตรทรายที่ใช้ เติมกลบหลุมขณะพลังงานที่ใช้ในการทูปต่อนั้นที่ต่าง ๆ ดังแสดงไว้ในตารางที่ 4.15 (ก) - 4.15 (ง) เห็นได้ว่าอัตราส่วนปริมาตรทรายที่ใช้ เติมกลบหลุมมีค่าเพิ่มขึ้นตามพลังงานที่ใช้ในการทูปต่อนั้นที่เพิ่มขึ้น เมื่อนำค่าทั้งสองมาเปรียบเทียบความสัมพันธ์พบว่า ค่าลอการิทึมของพลังงานที่ใช้ในการทูปต่อนั้นที่แปรผันเป็นสัดส่วนโดยตรงกับค่าลอการิทึมของอัตราส่วนปริมาตรทรายที่ใช้ เติมกลบหลุม $\log (E/A) \propto \log (\Delta V/V)$ ซึ่งจากผลการวิเคราะห์สมการถดถอยเชิงเส้นได้ค่าเฉลี่ยของความสัมพันธ์บริเวณโซนต่าง ๆ ดังแสดงไว้ในตารางที่ 4.18 และได้แสดงไว้ในกราฟความสัมพันธ์ ดังรูปที่ 4.21 พอสรุปได้ดังนี้

สำหรับพื้นที่วิเคราะห์ที่ 1 ซึ่งเป็นชั้นทรายหนา 9-12 เมตร สภาพความแน่นตามธรรมชาติของชั้นทรายมีสภาพหลวมถึงแน่นปานกลาง ความหนาแน่นสัมพัทธ์เฉลี่ยอยู่ระหว่าง 38% ถึง 63% ผลการวิเคราะห์ค่าเฉลี่ยของความสัมพันธ์ระหว่าง $\log (E/A)$ กับ $\log (\Delta V/V)$ ได้ตั้งสมการที่ 4.3 โดยมีส่วนเบี่ยงเบนมาตรฐานเท่ากับ 0.143

$$\log (E/A) = 1.022 + 1.367 \log (\Delta V/V) \dots\dots\dots (4.3)$$

สำหรับพื้นที่วิเคราะห์ที่ 2 ซึ่งเป็นชั้นทรายหนา 5-7 เมตร สภาพความแน่นตามธรรมชาติของชั้นทรายมีสภาพหลวมถึงแน่น ความหนาแน่นสัมพัทธ์เฉลี่ยอยู่ระหว่าง 56% ถึง 75% ผลการวิเคราะห์ค่าเฉลี่ยของความสัมพันธ์ระหว่าง $\log (E/A)$ กับ $\log (\Delta V/V)$ ได้ตั้งสมการที่ 4.4

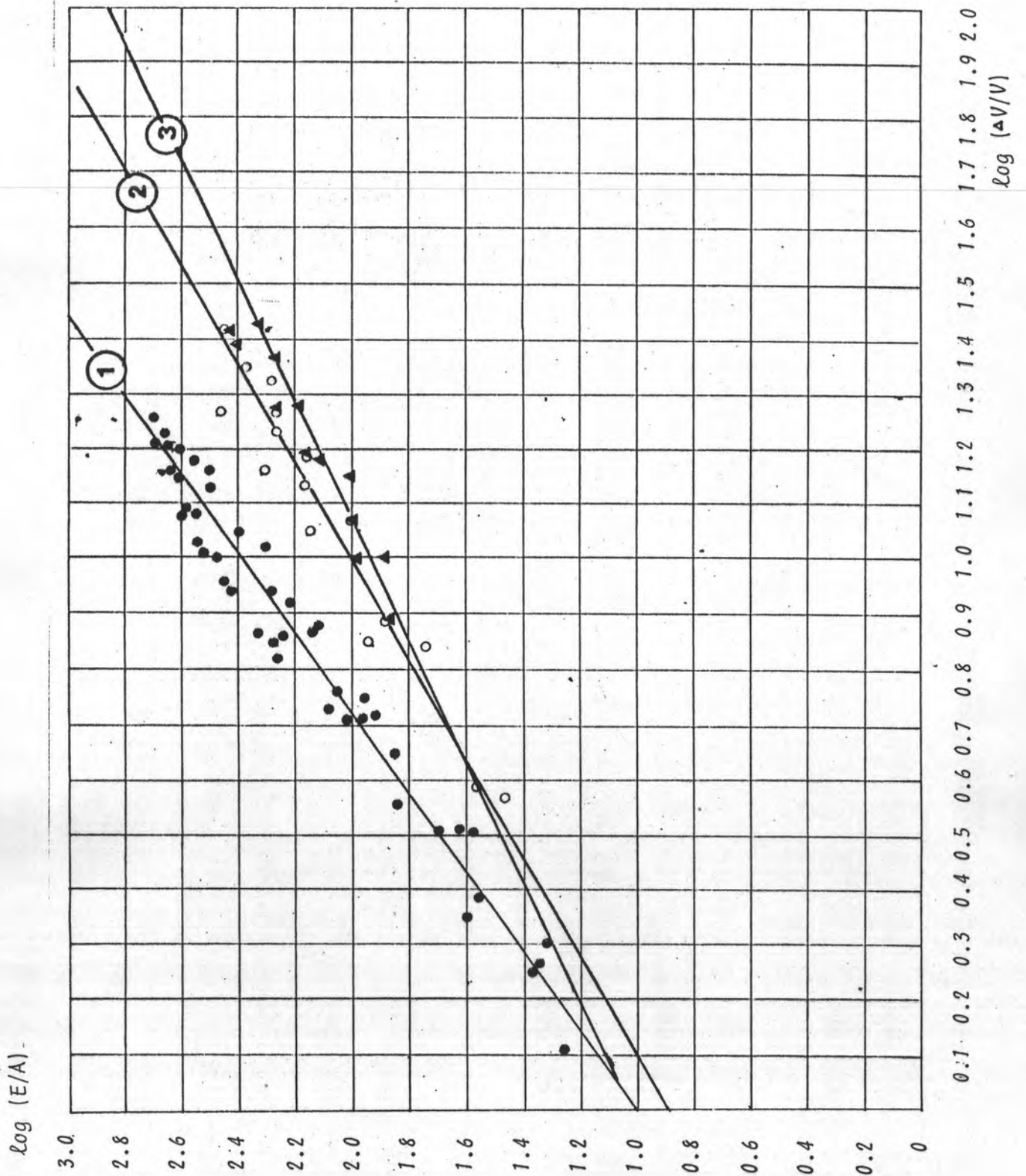
$$\log (E/A) = 0.845 + 1.160 \log (\Delta V/V) \dots\dots\dots (4.4)$$

สำหรับพื้นที่วิเคราะห์ที่ 3 ซึ่งเป็นชั้นทรายหนา 1-4 เมตร สภาพความแน่นตามธรรมชาติของชั้นทรายมีสภาพแน่นปานกลางถึงแน่นมาก ความหนาแน่นสัมพัทธ์เฉลี่ยอยู่ระหว่าง 65% ถึง 100% ผลการวิเคราะห์ค่าเฉลี่ยของความสัมพันธ์ระหว่าง $\log (E/A)$ กับ $\log (\Delta V/V)$ ได้ตั้งสมการที่ 4.5

$$\log (E/A) = 1.031 + 0.903 \log (\Delta V/V) \dots\dots\dots (4.5)$$

พื้นที่ วิเคราะห์	โซน	\bar{D}_h (%) ก่อนบดอัด	ความหนา ของชั้นทราย	สมการความสัมพันธ์
1	1U	49	10.25	$\log (E/A) = 1.096+1.249 \log (\Delta V/V)$
	2U	54	10.86	$\log (E/A) = 1.072+1.436 \log (\Delta V/V)$
	1C/D	50	9.98	$\log (E/A) = 0.848+1.570 \log (\Delta V/V)$
	2C/D	52	10.38	$\log (E/A) = 1.050+1.404 \log (\Delta V/V)$
	3U	51	9.75	$\log (E/A) = 1.022+1.299 \log (\Delta V/V)$
	3C/D (R)	53	10.50	$\log (E/A) = 0.973+1.363 \log (\Delta V/V)$
	Mean	52	10.30	$\log (E/A) = 1.022+1.367 \log (\Delta V/V)$
2	AD	52	6.05	$\log (E/A) = 0.845+1.250 \log (\Delta V/V)$
	3C/D (L)	60	6.81	$\log (E/A) = 0.880+1.085 \log (\Delta V/V)$
	4U	77	6.33	$\log (E/A) = 0.809+1.148 \log (\Delta V/V)$
	Mean	63	5.73	$\log (E/A) = 0.845+1.160 \log (\Delta V/V)$
3	4C/D (L)	73	4.09	$\log (E/A) = 1.179+0.790 \log (\Delta V/V)$
	4C/D (R)	85	4.71	$\log (E/A) = 0.975+0.975 \log (\Delta V/V)$
	Mean	79	4.50	$\log (E/A) = 1.031+0.903 \log (\Delta V/V)$

ตารางที่ 4.18 แสดงสมการความสัมพันธ์ระหว่าง $\log (E/A)$ กับ $\log (\Delta V/V)$ ของโซนต่าง ๆ



รูปที่ 4.21 แสดงความสัมพันธ์ระหว่าง $\log (E/A)$ กับ $\log (\Delta V/V)$ ของหิน
ที่วิเคราะห์ต่าง ๆ

4.5.5 ความสัมพันธ์ระหว่างอัตราส่วนปริมาตรทรายที่ใช้เติมกลบหลุม
กับความแน่นหลังการบดอัด

จากผลการวิเคราะห์ความสัมพันธ์ระหว่าง $\log (E/A)$ กับ $(\bar{N})_{mean}$ บริเวณโซนต่าง ๆ ดังตารางที่ 4.14 ก. ในหัวข้อ 4.4 และผลการวิเคราะห์ความสัมพันธ์ระหว่าง $\log (E/A)$ กับ $\log (\Delta V/V)$ บริเวณโซนต่าง ๆ ดังตารางที่ 4.18 ในหัวข้อ 4.5.4 เมื่อจับมาเทียบเท่ากัน ทำให้ทราบถึงความสัมพันธ์ระหว่าง $(\bar{N})_{mean}$ กับ $\log (\Delta V/V)$ ของพื้นที่วิเคราะห์ต่าง ๆ ดังสมการที่ 4.6, 4.7 และ 4.8 ซึ่งได้รวบรวมแสดงไว้ในตารางที่ 4.19

สำหรับพื้นที่วิเคราะห์ที่ 1

$$(\bar{N})_{mean} = 75.11 \log (\Delta V/V) - 56.87 \quad \dots \dots \dots (4.6)$$

สำหรับพื้นที่วิเคราะห์ที่ 2

$$(\bar{N})_{mean} = 64.02 \log (\Delta V/V) - 59.07 \quad \dots \dots \dots (4.7)$$

สำหรับพื้นที่วิเคราะห์ที่ 3

$$(\bar{N})_{mean} = 49.61 \log (\Delta V/V) - 41.87 \quad \dots \dots \dots (4.8)$$

จากสมการที่ 4.6-4.8 สามารถนำไปใช้ในการตรวจสอบหาความแน่นของดินหลังการบดอัดขณะต่าง ๆ โดยประมาณได้ พบว่ามีค่าความคลาดเคลื่อนประมาณ 5%-25% ซึ่งน้อยกว่าการตรวจสอบความแน่นจากความสัมพันธ์ระหว่างอัตราส่วนปริมาตรทรายที่ใช้เติมกลบหลุมกับอัตราส่วนความหนาแน่นแห้งที่เพิ่มขึ้น ดังกล่าวมาแล้วจากหัวข้อ 4.5.3

พื้นที่วิเคราะห์	ความหนาแน่นสัมพัทธ์	ความหนาของชั้นทราย	สมการความสัมพันธ์
๑	๓๘ - ๖๓	๕ - ๑๒	$(\bar{N})_{mean} = 75.11 \log (\Delta V/V) - 56.87$
๒	๕๖ - ๗๕	๕ - ๗	$(\bar{N})_{mean} = 64.02 \log (\Delta V/V) - 59.07$
๓	๖๕ - ๑๐๐	๑ - ๔	$(\bar{N})_{mean} = 49.61 \log (\Delta V/V) - 41.87$

ตารางที่ 4.19 แสดงสมการความสัมพันธ์ระหว่าง $(\bar{N})_{mean}$ กับ $\log (\Delta V/V)$

4.6 ผลกระทบเนื่องจากขนาดผลของอนุภาคที่มีต่อการบดอัด

4.6.1 ผลการทดสอบขนาดผลของอนุภาค

สำหรับการวิจัยนี้ได้ทำการสุ่มเก็บตัวอย่างดินจากระบอบเก็บตัวอย่าง ณ ระดับความลึกจากผิวดินต่าง ๆ กัน จำนวน 180 ตัวอย่าง นำมาทำการทดสอบหาขนาดผลของอนุภาคในห้องปฏิบัติการ เนื่องจากดินตัวอย่างเป็นทรายจึงทำการทดสอบโดยวิธีร่อนผ่านตะแกรง (Sieve Analysis) เพียงอย่างเดียว จากผลการทดสอบขนาดผลของอนุภาคทรายซึ่งได้รวบรวมไว้ในตารางที่ ค₁ และแสดงไว้ในกราฟการกระจายขนาดผล รูปที่ ค₁-ค₇ ในภาคผนวก ค. พอสรุปผลการทดสอบได้ดังนี้

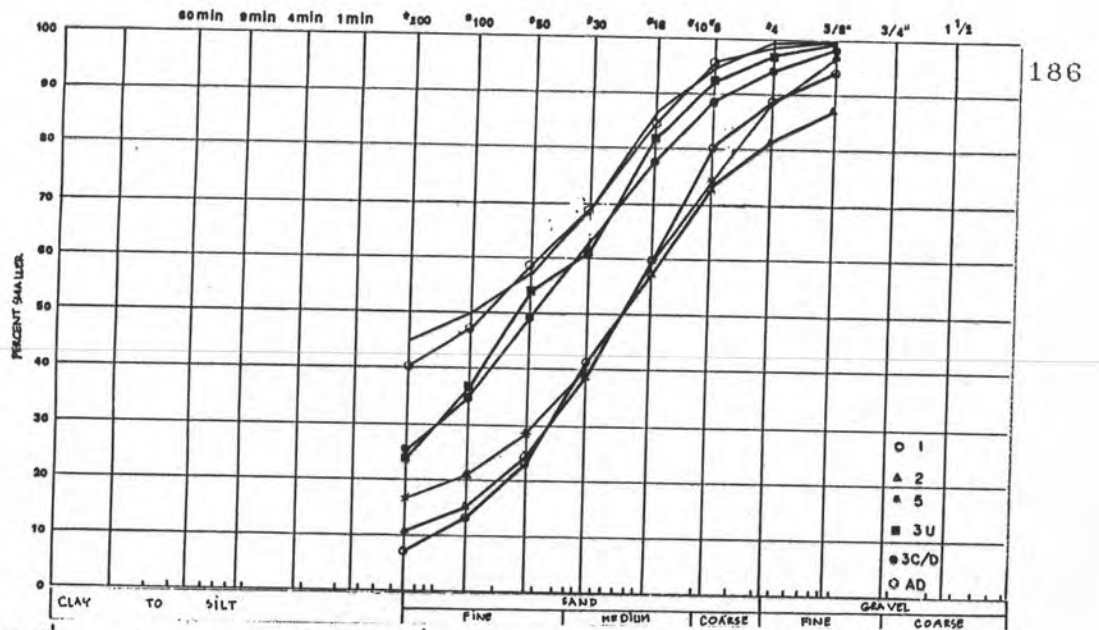
ขนาดผลของอนุภาคโซน 1U, 2U และโซนที่ 5 มีขนาดผลใกล้เคียงกันส่วนใหญ่เป็นทรายประมาณ 80% มีขนาดเม็ดดินละเอียด (ผ่านตะแกรงเบอร์ 200) ปนอยู่ 10% และมีเม็ดดินขนาดใหญ่มากกววด (ค้างอยู่บนตะแกรงเบอร์ 3/8) ปนอยู่ 10%

ขนาดผลของอนุภาคโซน 3U และ 3C/D (R) มีขนาดผลใกล้เคียงกัน ส่วนใหญ่เป็นทรายประมาณ 75% มีขนาดเม็ดดินละเอียด ปนอยู่ 25% และไม่มีเม็ดดินขนาดใหญ่พวกกววดปนอยู่เลย

ขนาดผลของอนุภาคโซน AD และโซนที่ 4 มีขนาดผลใกล้เคียงกันประกอบด้วยทรายประมาณ 55%-60% มีขนาดเม็ดดินละเอียดปนอยู่ 40%-45% และไม่มีเม็ดดินขนาดใหญ่พวกกววดปนอยู่เลย

โชน	จำนวน	# ๒๐๐	# ๑๐๐	# ๕๐	# ๓๐	# ๑๖	# ๘	# ๔	ก/ค
1U	๓๔	๗,๒๓๓ ๕.๑๓	๑๑,๔๕๓ ๕.๕๓	๒๓,๖๓๓๖.๕๓	๕๐,๖๓๓๖๐.๕๕	๕๗,๓๖๓๖๐.๓๕	๗๒,๘๐๓๖๐.๓๕	๘๗,๒๔๓๖๐.๕๕	๘๗,๒๔๓๖๐.๕๕
2U	๑๘	๑๐,๑๖๓ ๖.๕๕	๑๕,๖๕๓ ๗.๖๖	๒๕,๒๕๓ ๘.๗๗	๓๖,๗๕๓ ๙.๘๘	๔๓,๒๕๓๑๐.๑๓	๕๓,๗๕๓ ๑๑.๒๑	๖๓,๒๕๓ ๑๒.๓๒	๕๕,๗๕๓ ๖.๐๖
3U	๑๓	๒๕,๕๕๓๖๐.๕๕	๓๕,๘๕๓๖๕.๖๖	๔๕,๒๕๓๖๘.๗๗	๖๓,๐๕๓๖๕.๘๘	๗๓,๘๕๓๖๕.๙๙	๘๓,๖๕๓๖๕.๐๐	๙๓,๔๕๓ ๗.๑๑	๙๓,๔๕๓ ๕.๑๑
3C/๖ (R)	๒๕	๒๖,๓๐๓๖๐.๒๖	๓๖,๖๐๓๖๖.๐๖	๔๕,๙๐๓๖๘.๘๖	๖๓,๕๐๓๖๕.๖๖	๗๓,๘๐๓๖๕.๔๖	๘๓,๑๐๓๖๖.๒๖	๙๓,๔๐๓ ๖.๐๖	๙๓,๑๐๓ ๖.๐๖
AD	๕	๕๕,๑๐๓๖๕.๒๕	๕๐,๓๐๓๖๖.๐๕	๕๕,๕๐๓๖๗.๘๕	๖๐,๗๐๓๖๘.๖๕	๖๕,๙๐๓๖๙.๔๕	๗๑,๑๐๓ ๑๐.๒๕	๗๖,๓๐๓ ๑๑.๐๕	๕๕,๖๐๓ ๑.๐๕
4	๑๕	๕๐,๓๖๓๖๖.๑๖	๕๖,๕๖๓๖๗.๕๖	๕๕,๗๖๓๖๘.๙๖	๖๐,๙๖๓๖๙.๓๖	๖๕,๑๖๓๖๙.๗๖	๗๐,๓๖๓ ๑๐.๑๖	๗๕,๕๖๓ ๑๑.๕๖	๕๕,๘๖๓ ๐.๑๕
5	๕	๑๖,๖๖๓ ๖.๑๖	๒๐,๕๕๓ ๖.๓๕	๒๕,๔๔๓ ๖.๕๔	๓๐,๓๕๓ ๖.๗๓	๓๕,๒๕๓ ๖.๙๒	๔๐,๑๕๓ ๗.๑๒	๔๕,๐๕๓ ๗.๓๑	๔๕,๙๕๓ ๖.๓๑

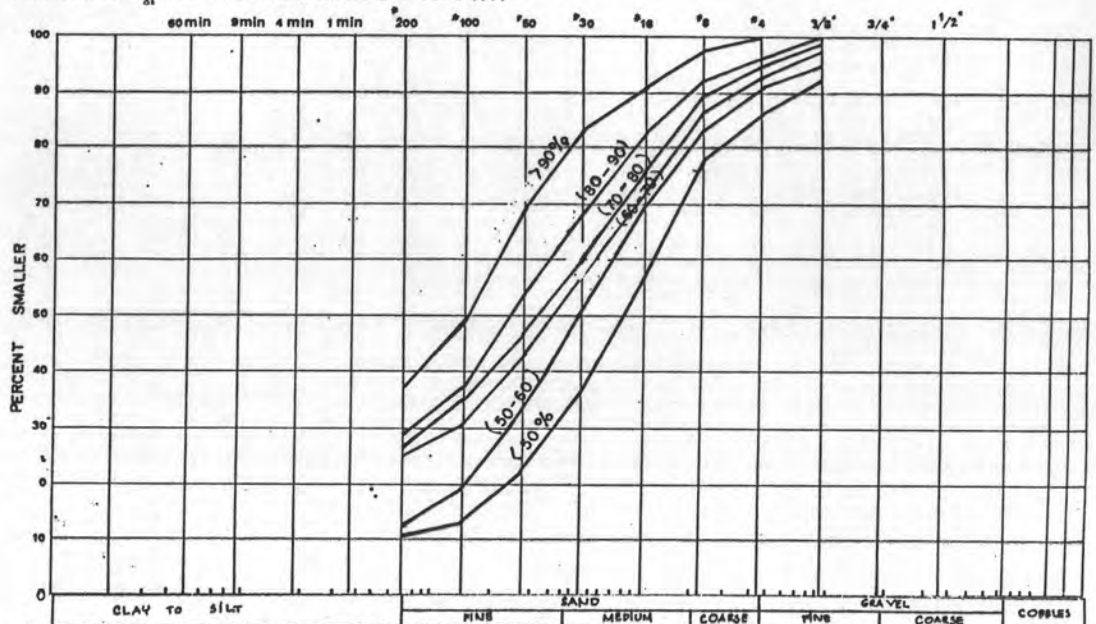
ตารางที่ 4.20 แสดงค่าเฉลี่ยและส่วนเบี่ยงเบนมาตรฐานของขนาดคละของอนุภาคบริเวณโชนต่าง ๆ



รูปที่ 4.22 (ก) แสดงค่าเฉลี่ยของขนาดคละของอนุภาคบริเวณโซนต่าง ๆ

4.6.2 เปรียบเทียบค่าความหนาแน่นสัมพัทธ์หลังการบดอัดกับขนาดคละของอนุภาค

จากการเปรียบเทียบค่าความหนาแน่นสัมพัทธ์หลังการบดอัดกับขนาดคละอนุภาคดังตารางที่ 4.21 และรูปที่ 4.22 ข. พบว่า เมื่อน้ำหนักที่ใช้ในการทุบต้อนั้นที่ใกล้เคียงกัน มวลดินที่มีขนาดเม็ดดินใหญ่สามารถบดอัดให้มีความหนาแน่นสัมพัทธ์สูงกว่ามวลดินที่มีขนาดเล็ก



รูปที่ 4.22 (ข) แสดงการเปรียบเทียบค่าความหนาแน่นสัมพัทธ์หลังการบดอัดกับขนาดคละของอนุภาค

SDr	จำนวน	# 100	# 1000	# 500	# 50	# 10	# 5	# 2	# 1	g/c [#]
40-50	30	๑๐.๓๔± ๒.๒๑	๑๒.๕๓± ๒.๕๒	๒๒.๓๒±๑๑.๖๖	๓๒.๓๒±๑๑.๖๖	๓๖.๓๒±๑๑.๖๖	๓๖.๓๒±๑๑.๖๖	๓๖.๓๒±๑๑.๖๖	๓๖.๓๒±๑๑.๖๖	๔๑.๕๖± ๔.๕๖
50-๕๐	๓๕	๑๒.๐๕±๑๐.๒๑	๑๕.๕๖±๑๑.๖๖	๓๒.๓๒±๑๑.๖๖	๓๒.๓๒±๑๑.๖๖	๓๖.๓๒±๑๑.๖๖	๓๖.๓๒±๑๑.๖๖	๓๖.๓๒±๑๑.๖๖	๓๖.๓๒±๑๑.๖๖	๔๕.๖๕± ๒.๕๖
๕๐-๕๐	๓๕	๒๕.๕๖±๑๑.๖๖	๓๒.๓๒±๑๑.๖๖	๓๒.๓๒±๑๑.๖๖	๓๒.๓๒±๑๑.๖๖	๓๖.๓๒±๑๑.๖๖	๓๖.๓๒±๑๑.๖๖	๓๖.๓๒±๑๑.๖๖	๓๖.๓๒±๑๑.๖๖	๔๖.๕๖± ๒.๕๖
๖๐-๕๐	๓๖	๒๖.๕๖±๑๑.๖๖	๓๒.๓๒±๑๑.๖๖	๓๒.๓๒±๑๑.๖๖	๓๒.๓๒±๑๑.๖๖	๓๖.๓๒±๑๑.๖๖	๓๖.๓๒±๑๑.๖๖	๓๖.๓๒±๑๑.๖๖	๓๖.๓๒±๑๑.๖๖	๔๖.๕๖± ๒.๕๖
๕๐-๖๐	๒๒	๒๕.๕๖±๑๑.๖๖	๓๒.๓๒±๑๑.๖๖	๓๒.๓๒±๑๑.๖๖	๓๒.๓๒±๑๑.๖๖	๓๖.๓๒±๑๑.๖๖	๓๖.๓๒±๑๑.๖๖	๓๖.๓๒±๑๑.๖๖	๓๖.๓๒±๑๑.๖๖	๔๖.๕๖± ๒.๕๖
< ๕๐	๑๕	๓๕.๕๖±๑๑.๖๖	๓๒.๓๒±๑๑.๖๖	๓๒.๓๒±๑๑.๖๖	๓๒.๓๒±๑๑.๖๖	๓๖.๓๒±๑๑.๖๖	๓๖.๓๒±๑๑.๖๖	๓๖.๓๒±๑๑.๖๖	๓๖.๓๒±๑๑.๖๖	๔๖.๕๖± ๒.๕๖

ตารางที่ 4.21 แสดงการเปรียบเทียบค่าความแน่นสัมพัทธ์หลังการบดอัดกับขนาด
 ละเอียดของอนุภาค

4.6.3 ผลกระทบเนื่องจากขนาดคละของอนุภาคที่มีต่อพลังงานในการทุบจากสมการที่ 4.1 มีค่าส่วนเบี่ยงเบนมาตรฐานเท่ากับ 0.10 ดังนั้น พลังงานที่ใช้ในการทุบต่อพื้นที่บริเวณโซนต่าง ๆ จะแตกต่างกันมากพอสมควร โดยเฉพาะในชั้นทรายที่มีความหนาแน่นมาก ๆ เห็นได้ว่า โซน 3U และ โซน 3C/D (R) ใช้พลังงานในการทุบต่อพื้นที่มากกว่าโซน 1U และ 2U ประมาณ 100 ตัน ม./ม.² และจากผลการทดสอบขนาดคละของอนุภาคสามารถปรับแก้ไขสมการที่ 4.1 โดยคำนึงถึงผลกระทบเนื่องจากขนาดคละของอนุภาคได้เป็นดังสมการที่ 4.9 คือ

$$\log (E/A) = 2.00 + 0.0182 (\bar{N})_{mean} + \delta \quad \dots \dots \dots (4.9)$$

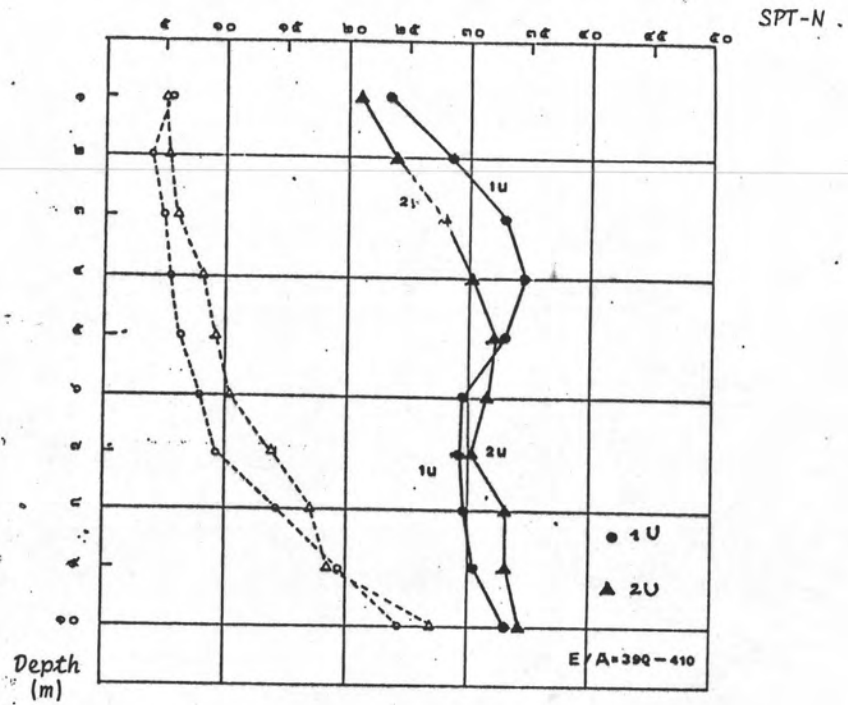
โดย δ = ค่าแก้ไขเนื่องจากขนาดคละของอนุภาค
 δ = -0.05 เมื่อมีขนาดของเมล็ดดินผ่านตะแกรงเบอร์* 200 จำนวน 10%
 δ = 0.12 เมื่อมีขนาดของเมล็ดดินผ่านตะแกรงเบอร์* 200 จำนวน 25%

4.7 ข้อสังเกตความแน่นหลังการบดอัดในรูปแบบการทุบที่แตกต่างกัน

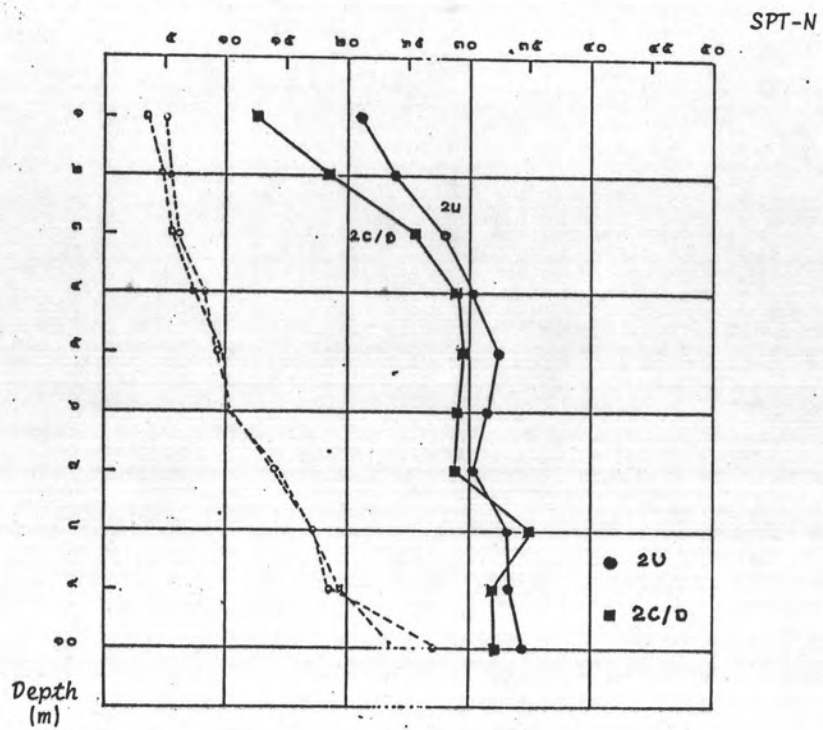
จากผลการทดสอบและผลการประมาณค่าต่าง ๆ ดังกล่าวแล้วข้างต้น ในหัวข้อ 4.1-4.6 เมื่อทำการเปรียบเทียบความแน่นหลังการบดอัดในรูปแบบการทุบที่แตกต่างกันพอสรุปได้ดังนี้

1. เปรียบเทียบรูปแบบการทุบแบบคานเกี่ยวกับรูปแบบการทุบแบบเดี่ยวสังเกตจากโซน 1U และ โซน 2U มีขนาดคละของอนุภาค, ความหนาของชั้นทราย, ความแน่นก่อนบดอัดและพลังงานที่ใช้ในการทุบ/พื้นที่ใกล้เคียงกันมาก แต่มีรูปแบบการทุบที่แตกต่างกันโดยโซน 1U มีรูปแบบการทุบแบบคานเกี่ยว ส่วนในโซน 2U มีรูปแบบการทุบแบบเดี่ยว เมื่อทำการเปรียบเทียบความแน่นหลังการบดอัดพบว่าค่าความแน่นเฉลี่ยใกล้เคียงกันมากเกือบเท่ากัน แต่แตกต่างกันที่บริเวณใกล้ผิวดินระดับ 1-5 เมตร การทุบแบบคานเกี่ยวมีความแน่นหลังการบดอัดมากกว่าการทุบแบบเดี่ยวส่วนบริเวณใกล้ชั้นหินที่ระดับ 6-10 เมตร การทุบแบบเดี่ยวมีความแน่นหลังการบดอัดมากกว่าการทุบแบบคานเกี่ยว (ดังรูปที่ 4.23)

2. เปรียบเทียบรูปแบบการทาบแบบเดี่ยวตำแหน่งเดียวกับสองตำแหน่ง
สังเกตจากโซน 2U และ 2C/D มีขนาดคละของอนุภาค, ความหนาของชั้นทราย
และความแน่นก่อนการบดอัดใกล้เคียงกัน แต่โซน 2U มีรูปแบบการทาบแบบเดี่ยว
เพียงตำแหน่งเดียว โดยจำนวนครั้งแปรผันไปตามความลึก ส่วนโซน 2C/D มีรูป
แบบการทาบเป็นรูปแบบเดี่ยวสองตำแหน่งโดยจำนวนครั้งการทาบในแต่ละตำแหน่ง
เท่ากันตลอดทั้งโซน พบว่าหลังการบดอัดสิ้นสุด ความแน่นหลังการบดอัดใกล้เคียง
กัน แต่โซน 2C/D ใช้พลังงานในการทาบต่อพื้นที่มากกว่าโซน 2U (ดังรูปที่ 4.24)



รูปที่ 4.23 แสดงการเปรียบเทียบความแน่นหลังการบดอัดโซน 1U กับ 2U



รูปที่ 4.24 แสดงการเปรียบเทียบความแน่นหลังการบดอัดโซน 2U กับ 2C/D